



Técnicas de modulación para accionamientos multifásicos

Joel Prieto

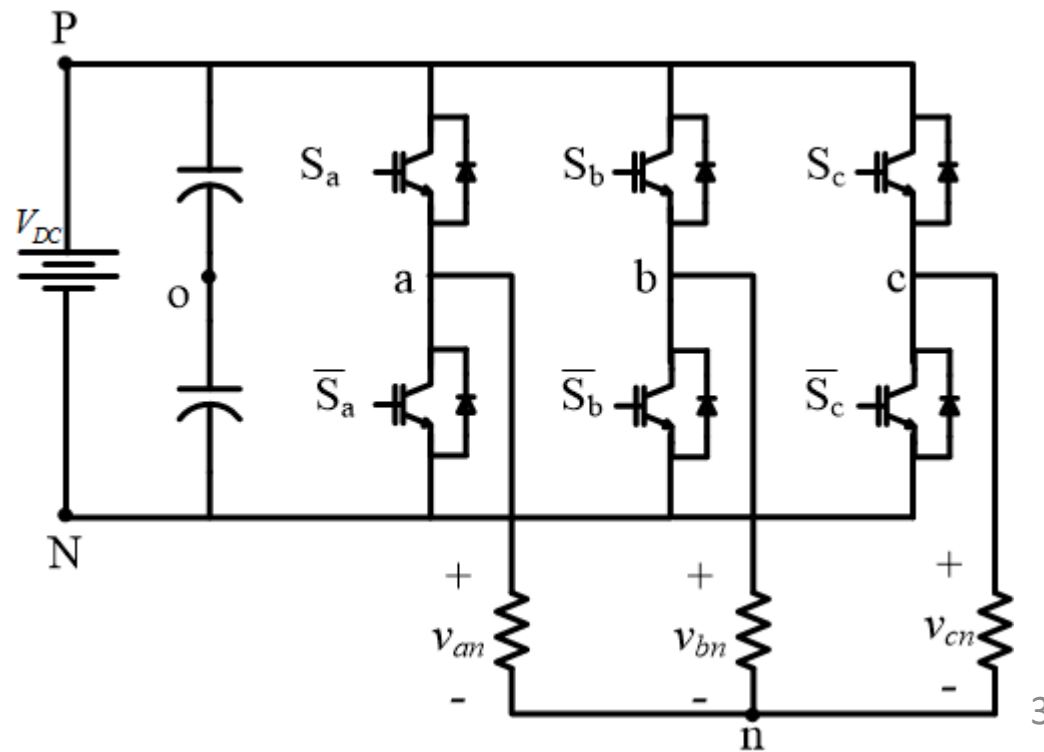
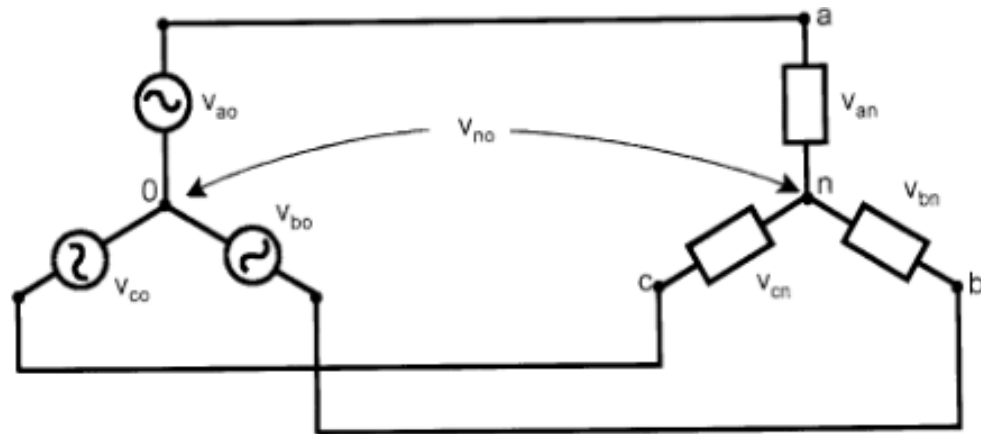
Programa de Vinculación de Científicos y Tecnólogos
PVT 014/2015

2016

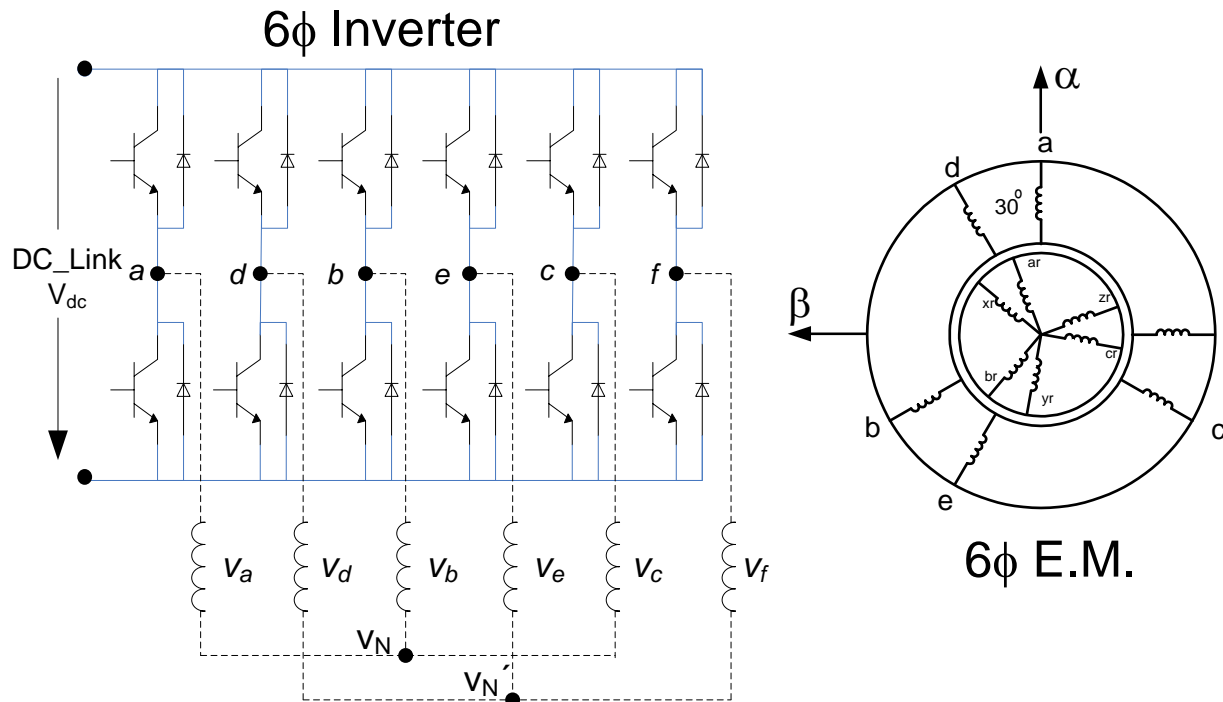
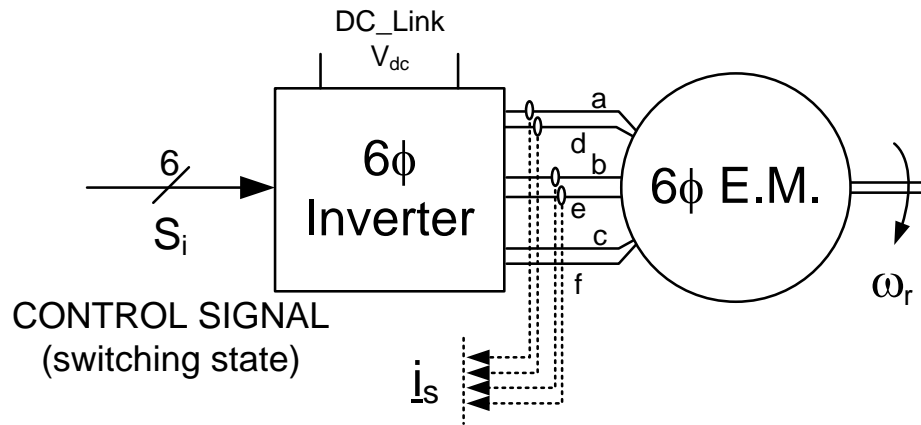
Indice de la presentación

- **Introducción**
- Objetivos
- Técnicas de modulación para accionamientos multifásicos
 - Continuos and Discontinuos
 - Análisis de rizado de corriente
 - Técnicas SVPWM para zona de sobremodulación
 - Mitigación de tensión de modo común
- Conclusiones

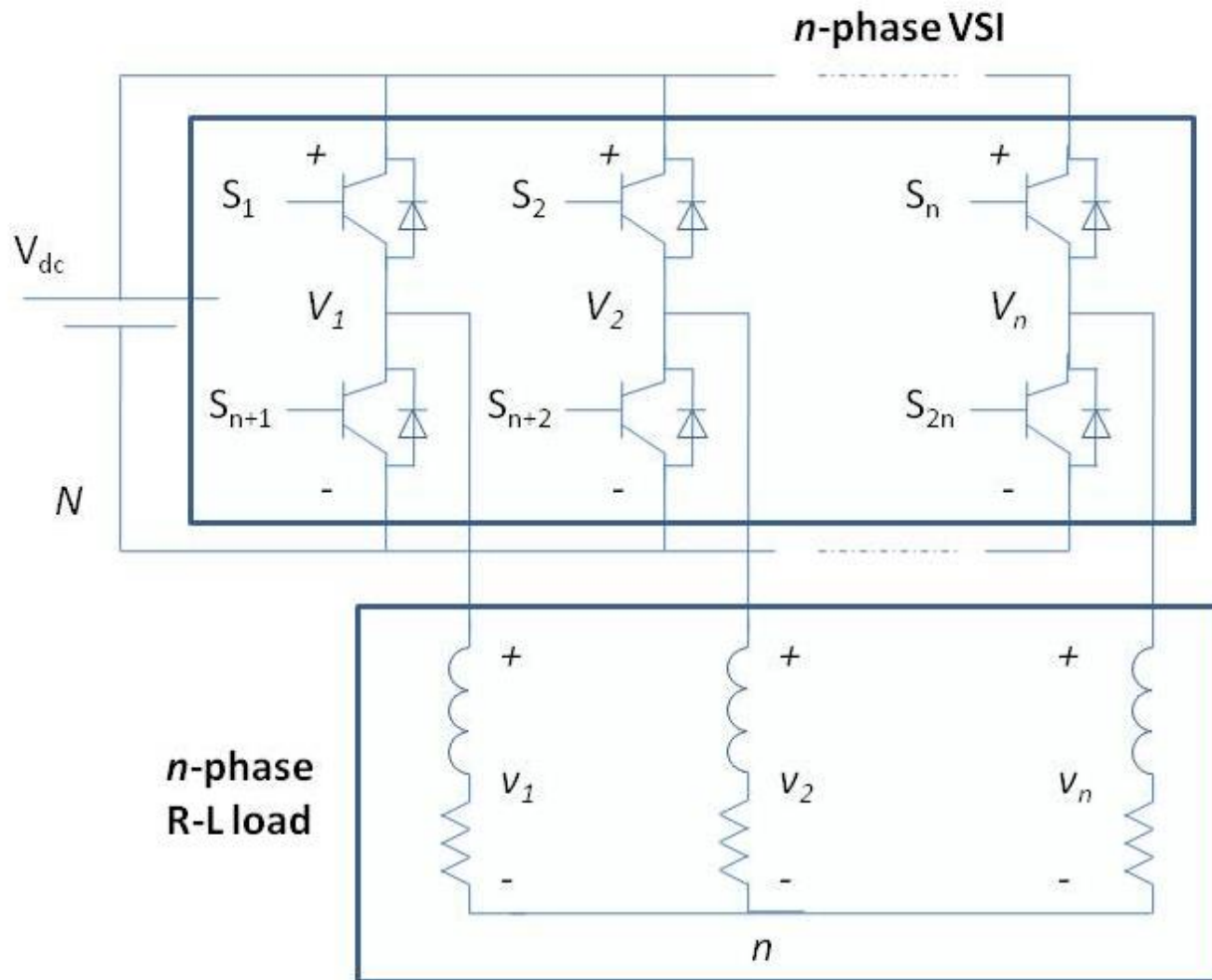
Introducción



Introducción



Introducción



Introducción

- Accionamientos multifásicos, principales áreas de interés:
 - Propulsión marítima
 - Vehículos eléctricos e híbridos
 - Tracción en trenes
 - Aplicaciones aviónicas
 - Otras aplicaciones de altas potencias

Introducción

- Accionamientos multifásicos, principales áreas de interés:
 - Propulsión marítima

20MW @ 180rpm, 15 fases

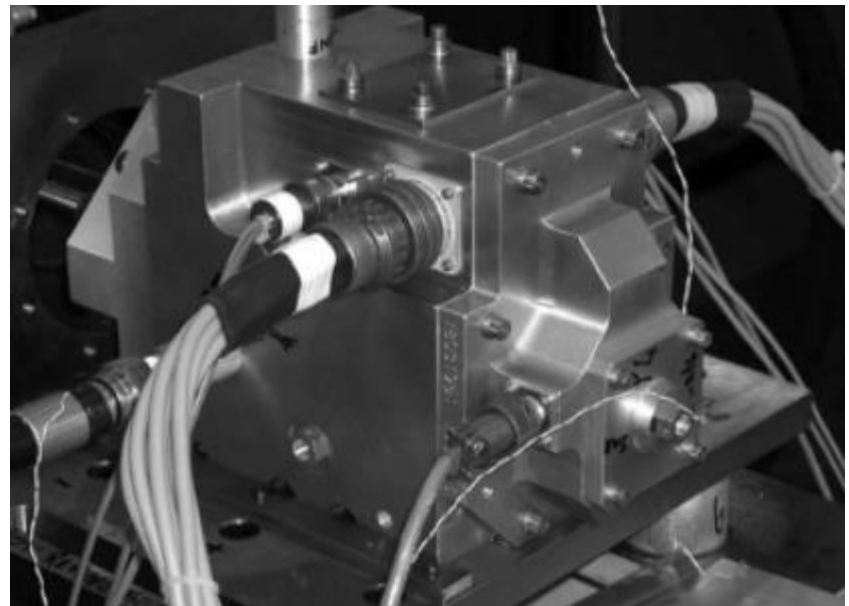
Medidas: 3.3m x 3m x 3.6m



Introducción

- Accionamientos multifásicos, principales áreas de interés:
 - Aplicaciones aviónicas

Motor de imanes permanentes para bomba de combustible:
16kW - 4 fases,
6 polos, tolerante a fallos



Indice de la presentación

- Introducción
- **Objetivos**
- Técnicas de modulación para accionamientos multifásicos
 - Continuos and Discontinuos
 - Análisis de rizado de corriente
 - Técnicas SVPWM para zona de sobremodulación
 - Mitigación de tensión de modo común
- Conclusiones

Objetivos

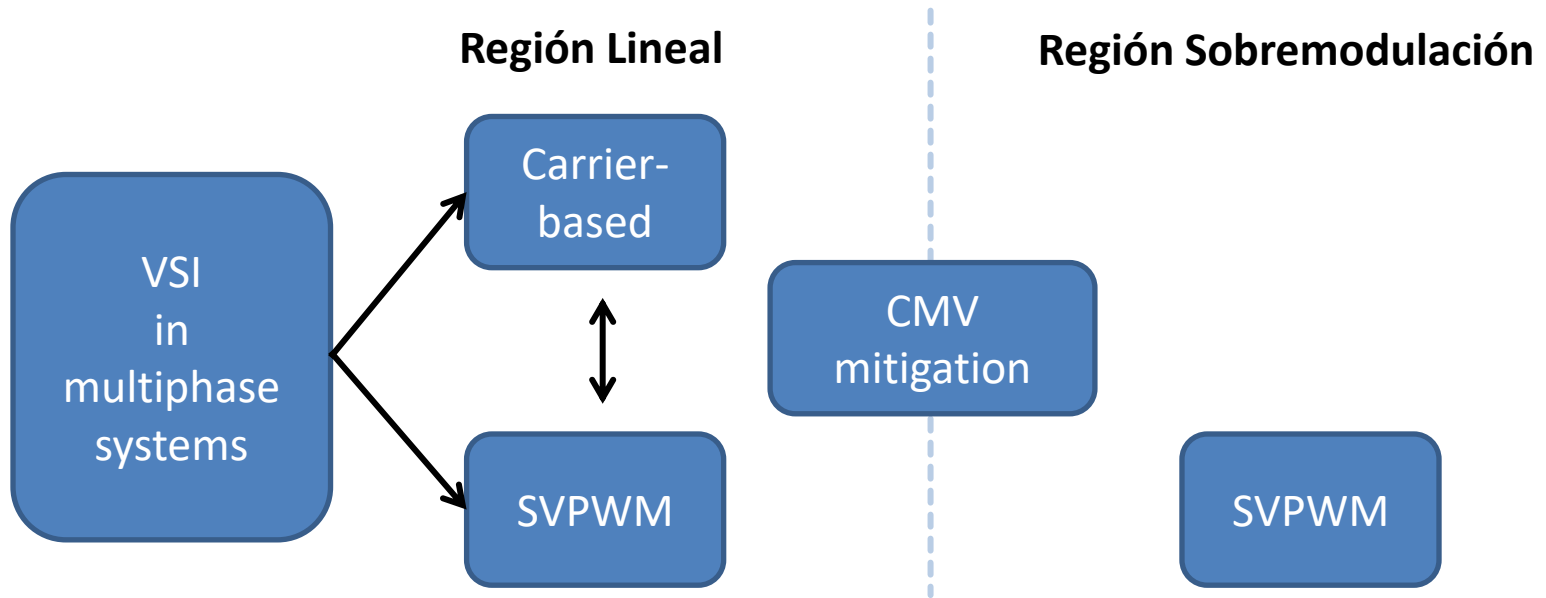
- Estudiar y caracterizar las estrategias de modulación para convertidores multifásicos de 5 y 6 fases en la región lineal y de sobremodulación
- Proponer nuevas técnicas de modulación para convertidores multifásicos

Indice de la presentación

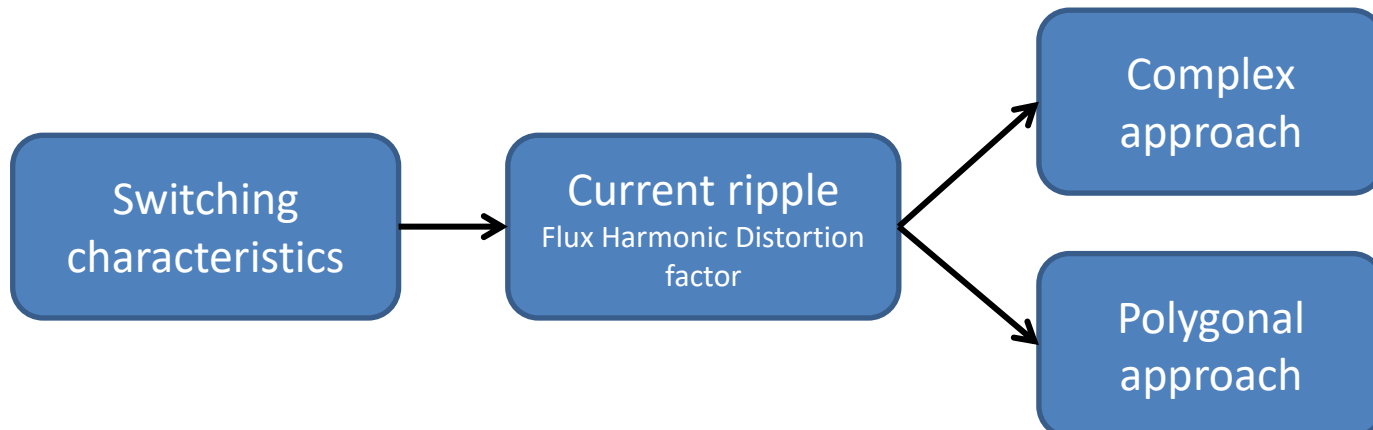
- Introducción
- Objetivos
- **Técnicas de modulación para accionamientos multifásicos**
 - Continuos and Discontinuos
 - Análisis de rizado de corriente
 - Técnicas SVPWM para zona de sobremodulación
 - Mitigación de tensión de modo común
- Conclusiones

Técnicas de modulación

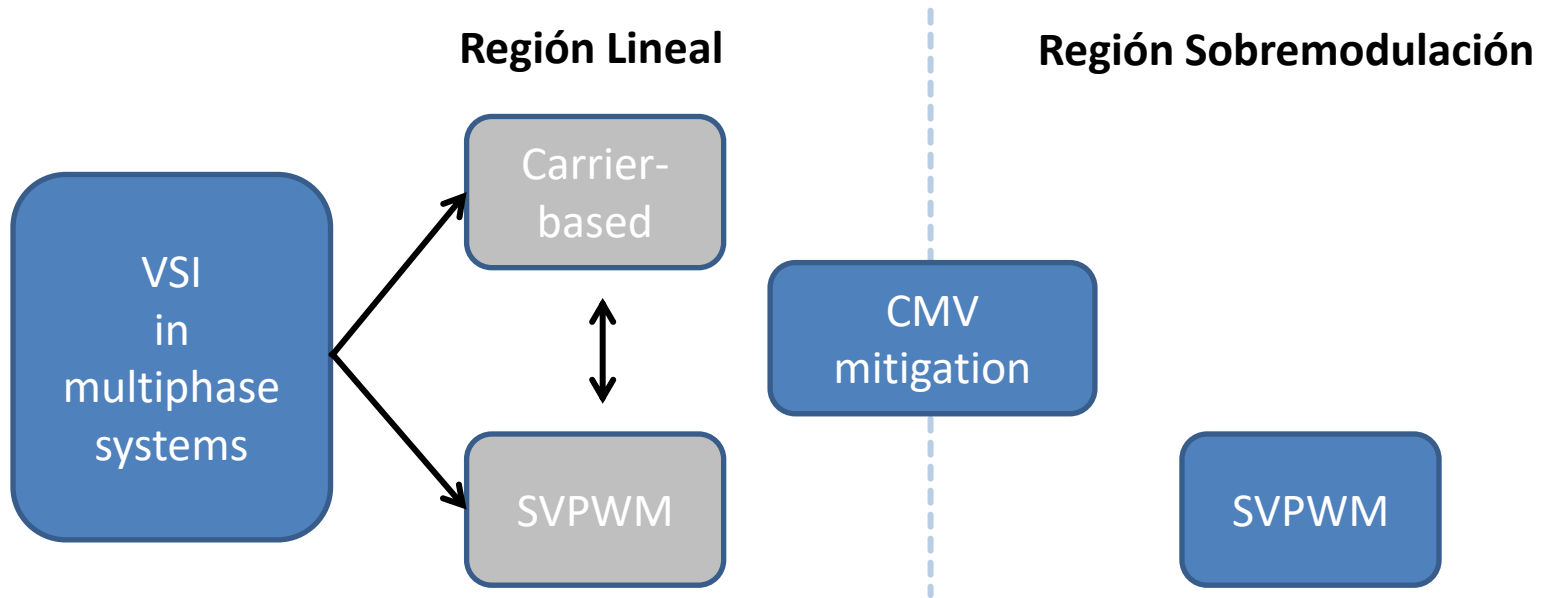
Técnicas PWM para convertidores multifásicos



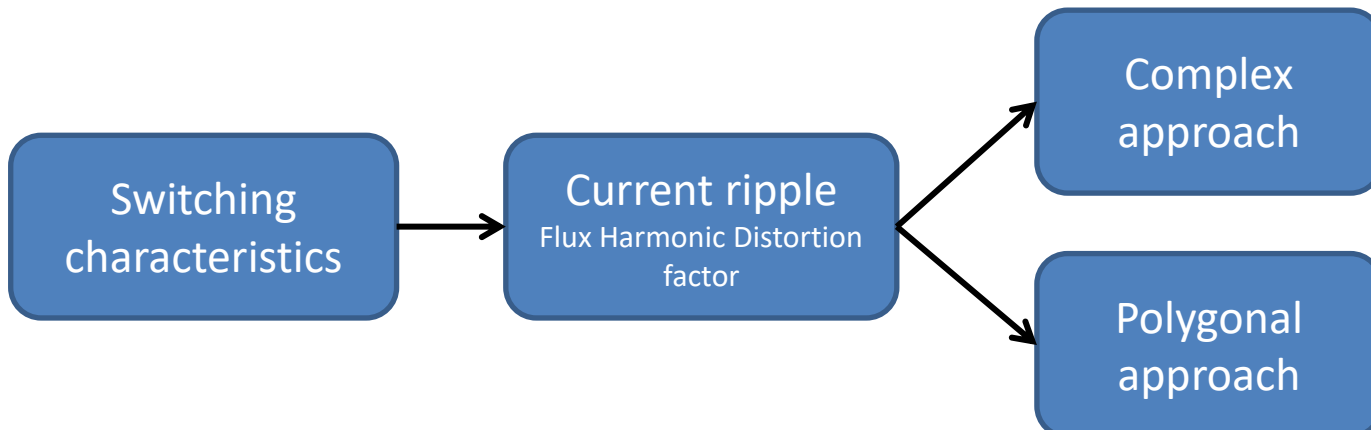
Indicadores de rendimiento



Técnicas PWM para convertidores multifásicos



Indicadores de rendimiento



VSI multifásico: Carrier-based PWM

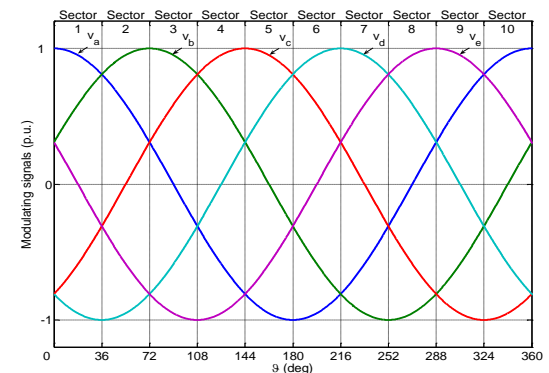
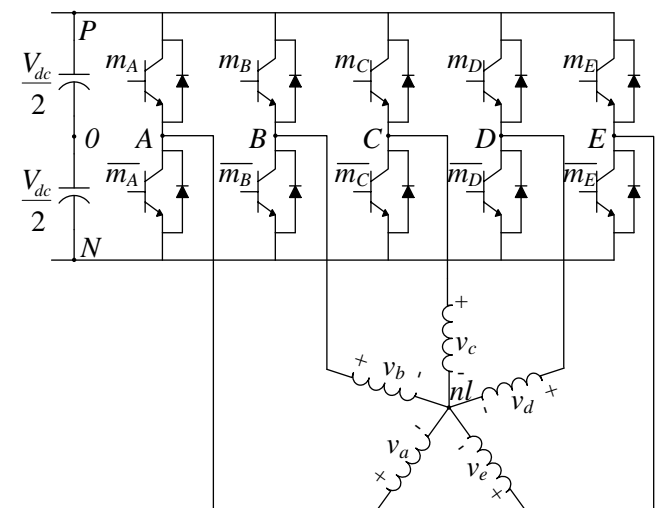
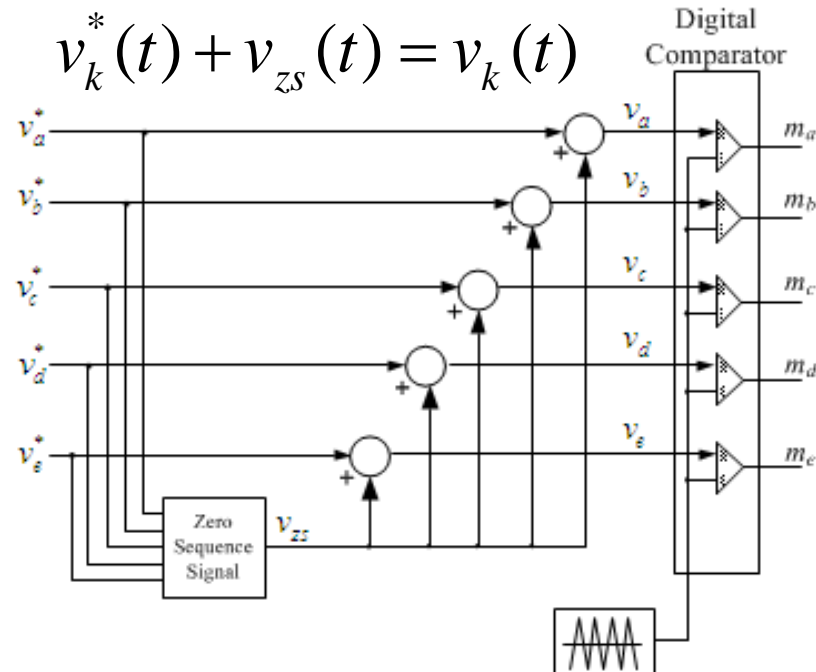
$$v_a^* = M \cos(\vartheta)$$

$$v_b^* = M \cos(\vartheta - 2\frac{\pi}{5})$$

$$v_c^* = M \cos(\vartheta - 4\frac{\pi}{5})$$

$$v_d^* = M \cos(\vartheta + 4\frac{\pi}{5})$$

$$v_e^* = M \cos(\vartheta + 2\frac{\pi}{5})$$

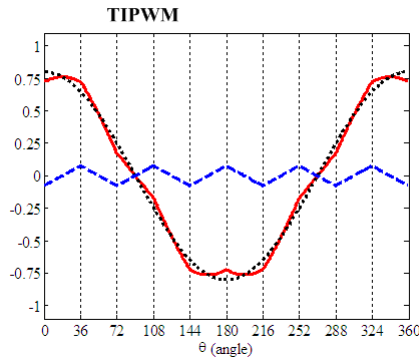


ZSI utilizado para:

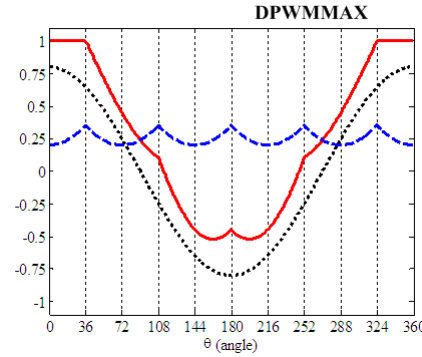
- Mejorar la calidad de la corriente
- Maximizar el índice de modulación

PWM Continuo y Discontinuo

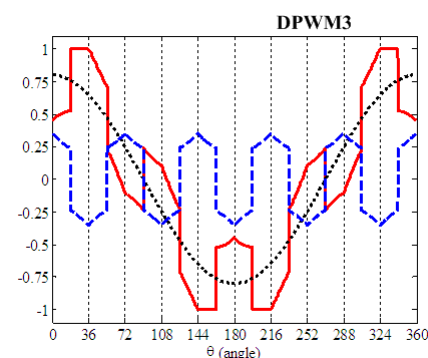
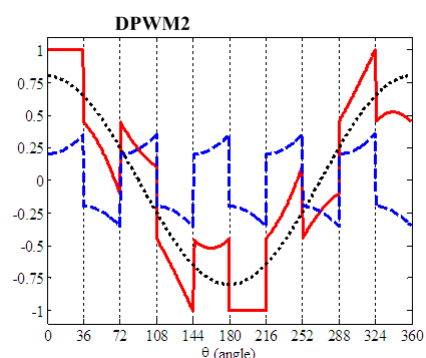
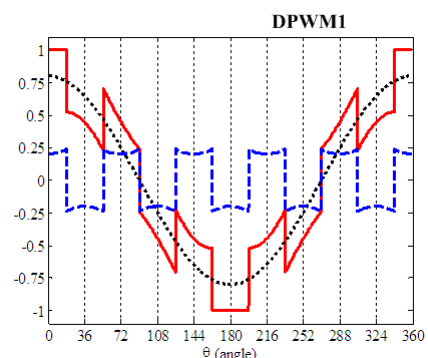
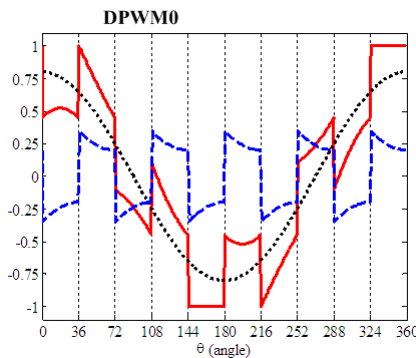
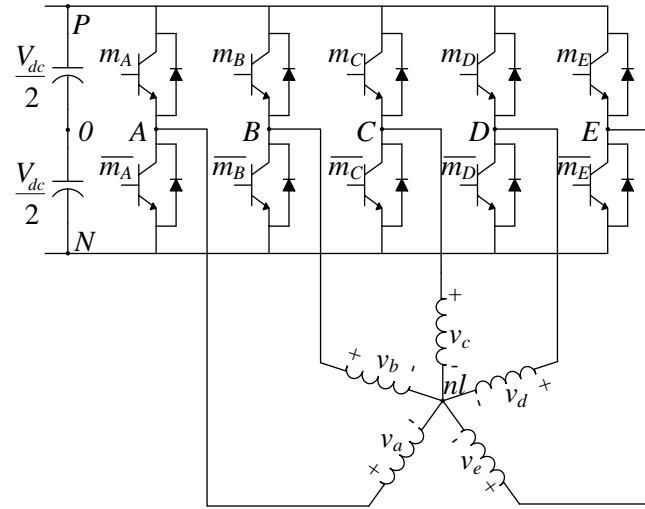
Carrier-based PWM



$$v_{zs} = -0.5 \left(\max \{v_i^*\} + \min \{v_i^*\} \right)$$



$$v_{zs} = V_{dc}/2 - \max \{v_i^*\}$$

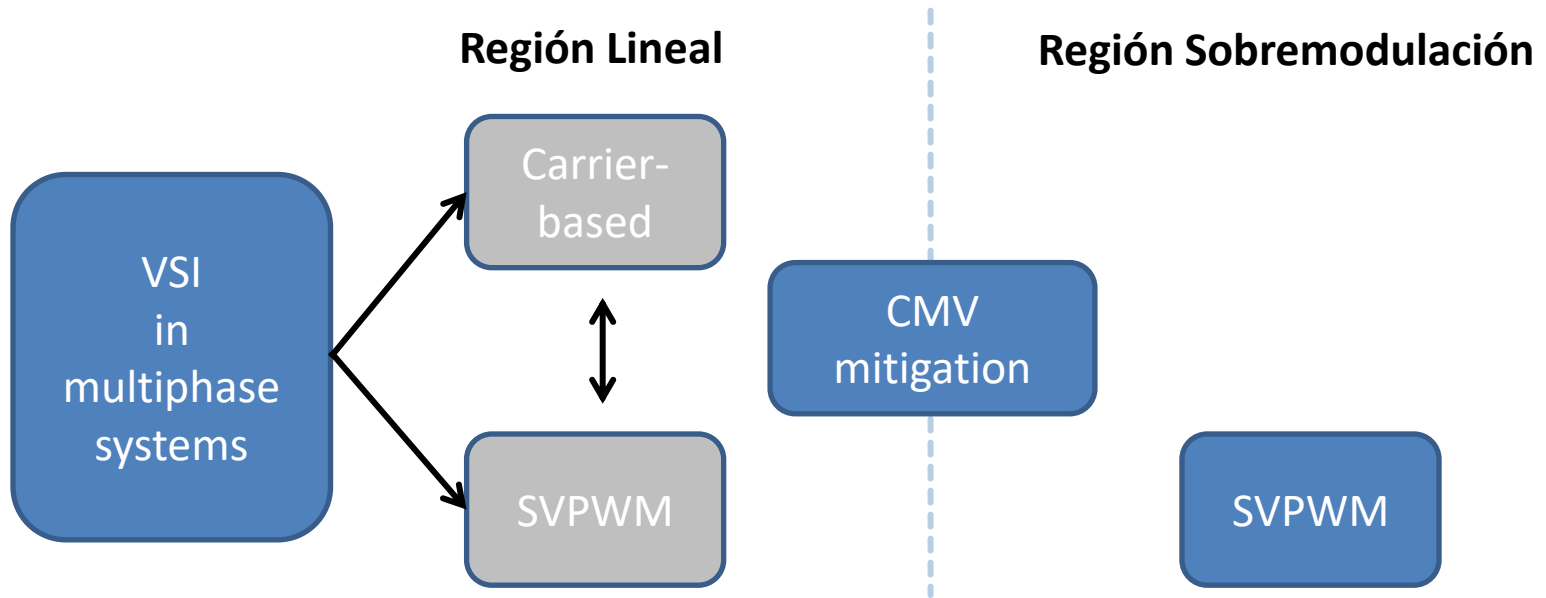


Tensión de fase

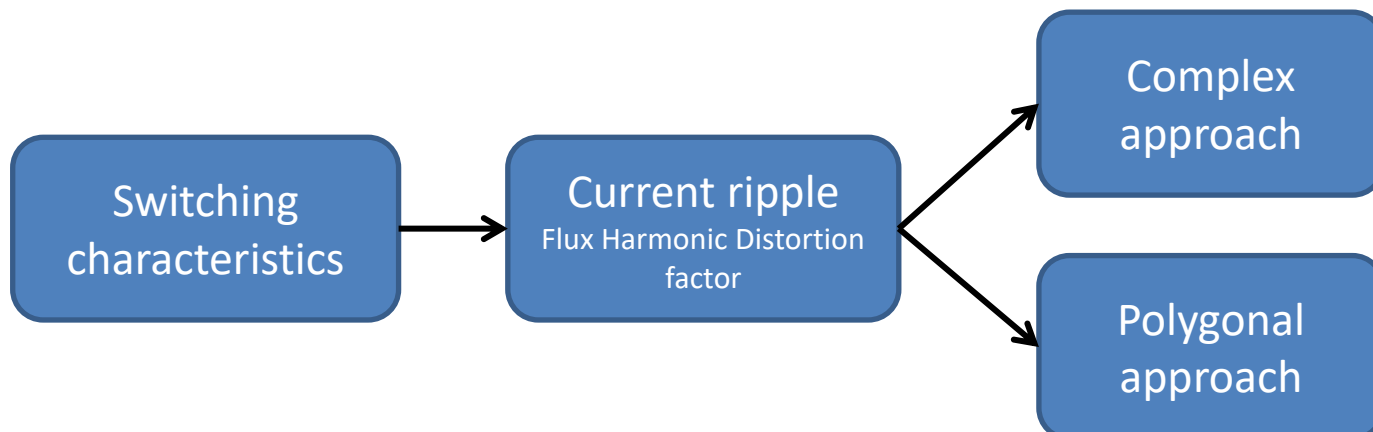
Tensión de rama

Señal de Secuencia cero

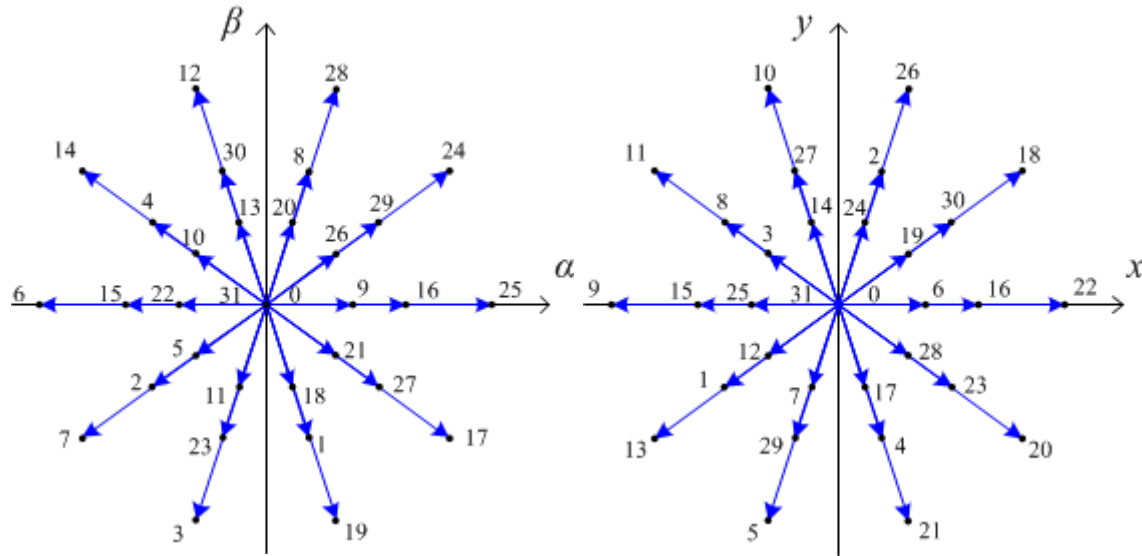
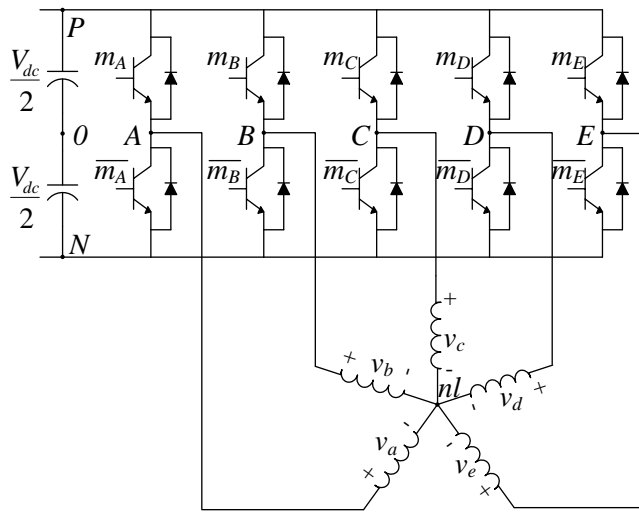
Técnicas PWM para convertidores multifásicos



Indicadores de rendimiento



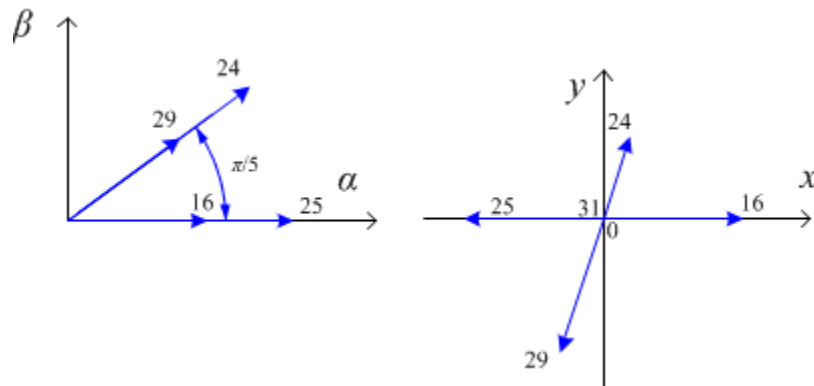
VSI multifásico: SVPWM



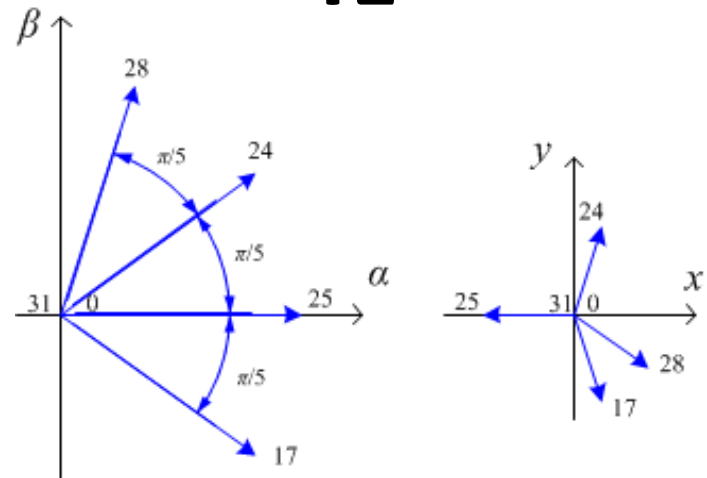
- $2^5 = 32$ estados de conmutación y vectores disponibles
- Cada estado de conmutación puede ser representados en dos planos independientes
- La referencia es obtenida con la utilización selectiva de algunos estados de conmutación aplicados en cierta secuencia

VSI multifásico: SVPWM

2L + 2M



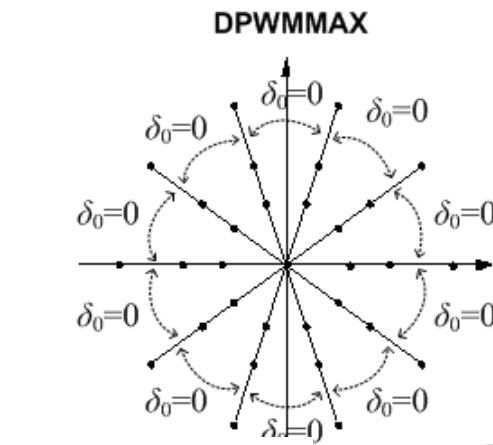
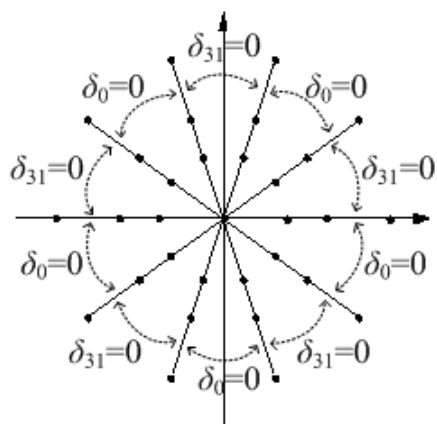
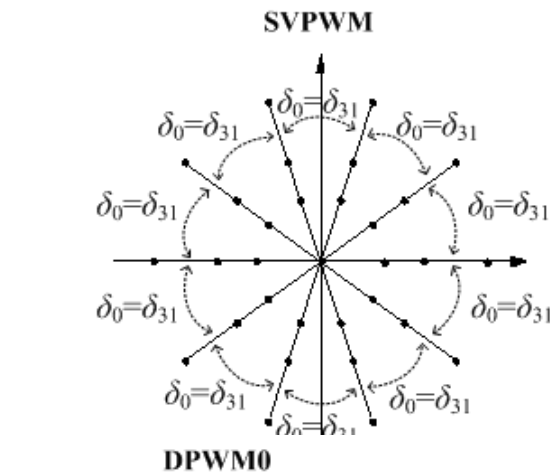
4L



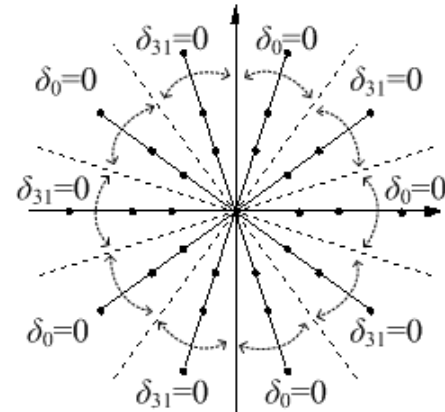
(2L+2M) SVPWM	(4L) SVPWM
$\delta_{am} = MK_1 \sin\left(s \frac{\pi}{5} - \vartheta\right)$	$\delta_{cl} = MK_1 \sin\left(s \frac{\pi}{5} - \vartheta\right)$
$\delta_{al} = MK_2 \sin\left(s \frac{\pi}{5} - \vartheta\right)$	$\delta_{al} = MK_1 \left[\sin\left(\vartheta - (s-1)\frac{\pi}{5}\right) + (2J_1 - 1) \sin\left(s \frac{\pi}{5} - \vartheta\right) \right]$
$\delta_{bm} = MK_1 \sin\left(\vartheta - (s-1)\frac{\pi}{5}\right)$	$\delta_{bl} = MK_1 \left[\sin\left(s \frac{\pi}{5} - \vartheta\right) + (2J_1 - 1) \sin\left(\vartheta - (s-1)\frac{\pi}{5}\right) \right]$
$\delta_{bl} = MK_2 \sin\left(\vartheta - (s-1)\frac{\pi}{5}\right)$	$\delta_{dl} = MK_1 \sin\left(\vartheta - (s-1)\frac{\pi}{5}\right)$
$\delta_z = 1 - MK_2 \cos\left((2s-1)\frac{\pi}{10} - \vartheta\right)$	$\delta_z = 1 - MK_2 \cos\left((2s-1)\frac{\pi}{10} - \vartheta\right)$

PWM Continuo y Discontinuo

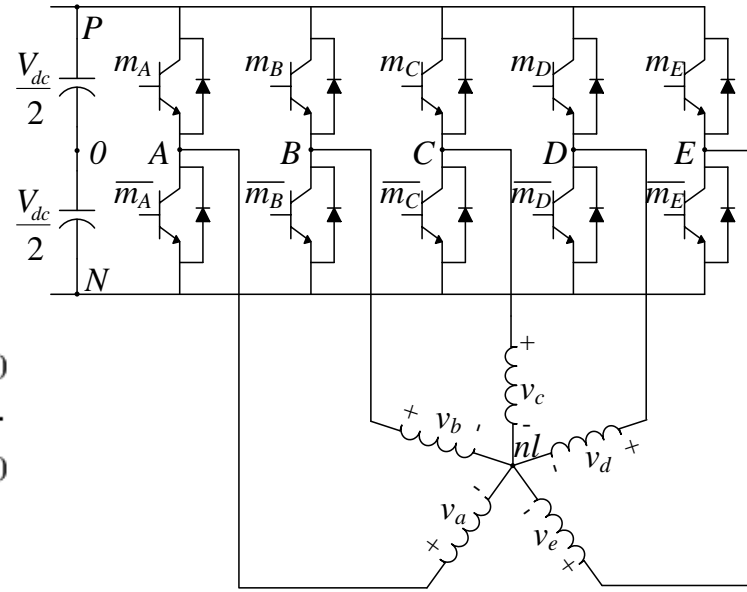
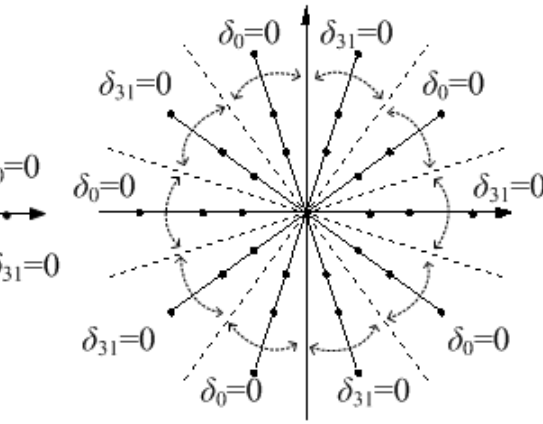
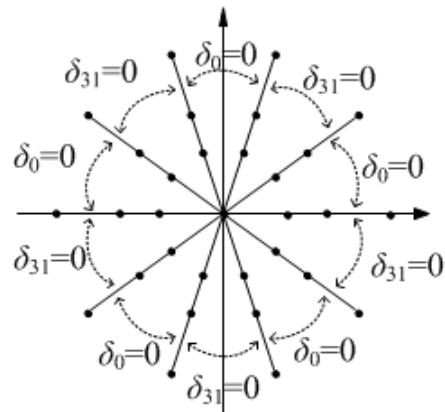
SVPWM



DPWM1



DPWM2



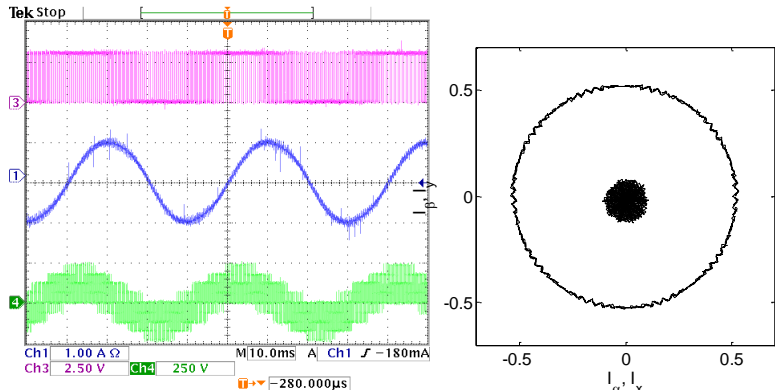
PWM Continuo y Discontinuo

Tienen diferentes patrones de commutación que generan diferentes resultados en la corriente

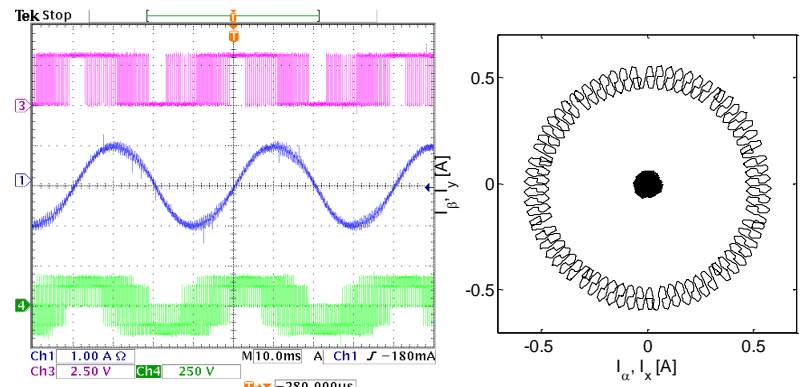
2L + 2M SVPWM

4L SVPWM

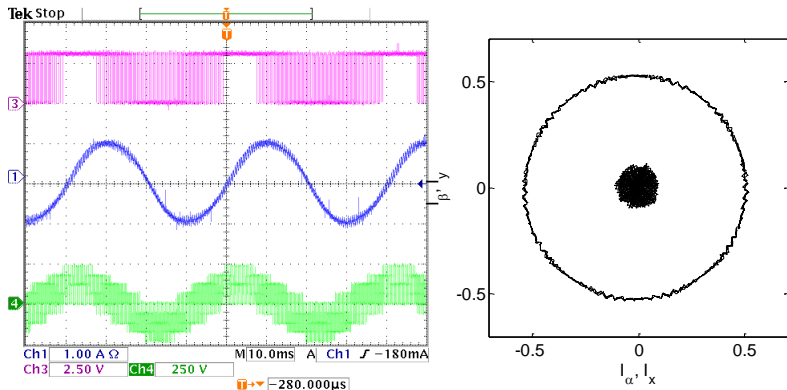
SVPWM



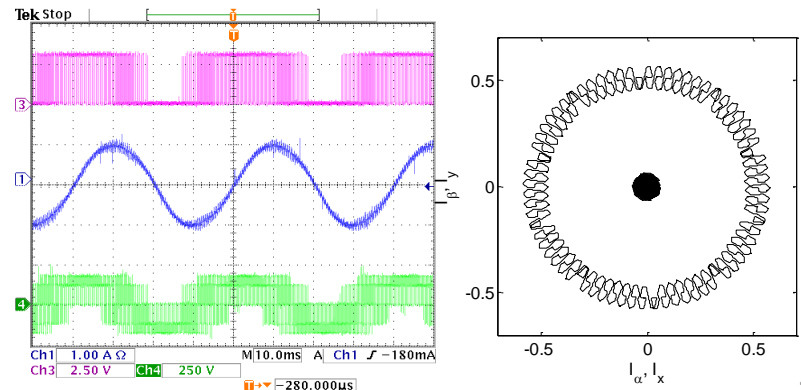
DPWM0



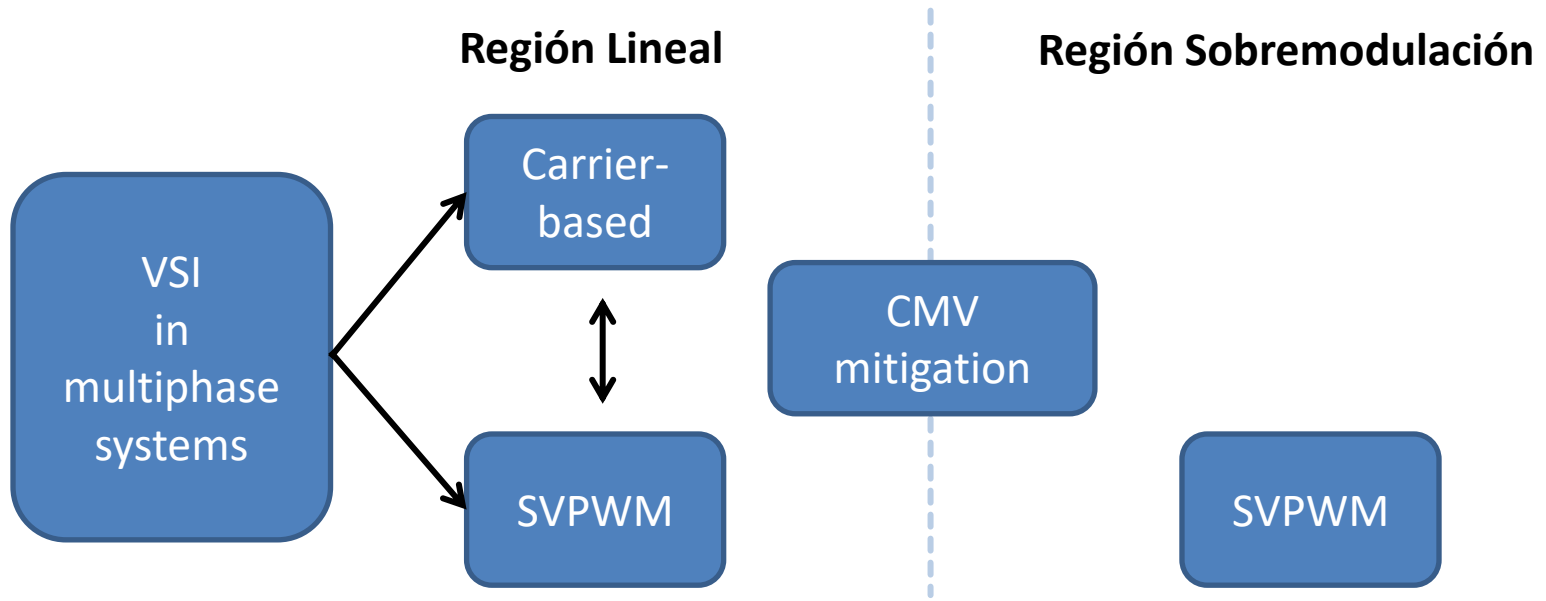
DPWMMAX



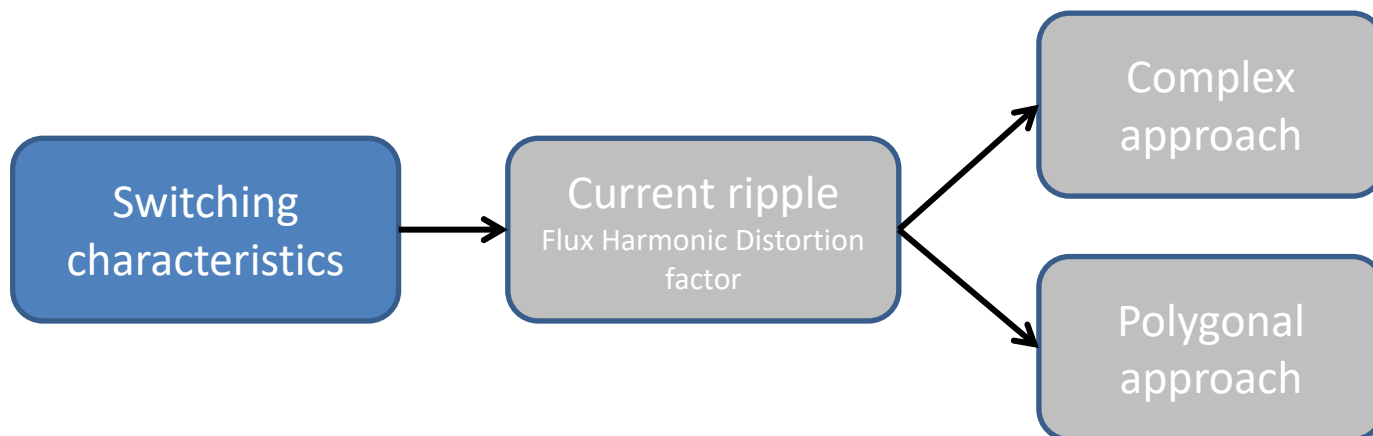
DPWMMIN



Técnicas PWM para convertidores multifásicos



Indicadores de rendimiento



Consideraciones:

- ✓ Alta frecuencia de conmutación
- ✓ Fuerza contraelectromotriz constante durante un periodo de conmutación, e igual a la referencia de tensión
- ✓ Resistencia equivalente de los devanados despreciables y cambio lineal de la corriente

Análisis de rizado de corriente

Pasos de análisis:

- ✓ Harmonic Flux trajectories (por periodo de commutación)

$$\Delta \bar{\lambda} = \int_0^{\frac{T_s}{2}} (\bar{v} - \bar{v}^*) dt$$

- ✓ Harmonics Flux RMS (por periodo de commutación)

$$\Delta \lambda^2_{RMS}(M, \theta) = \frac{2}{T_s} \int_0^{\frac{T_s}{2}} \Delta \lambda^2 dt$$

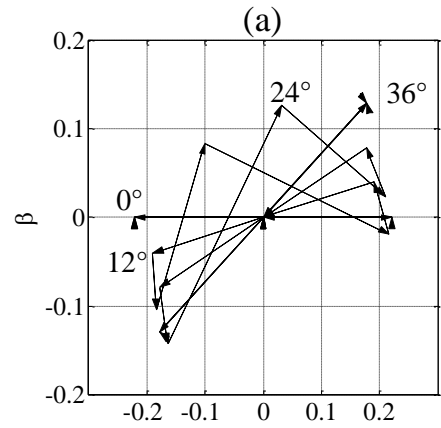
- ✓ Flux HDF (por periodo de la fundamental)

$$\lambda^2_{srms}(M) = \frac{1}{2\pi} \int_{-2\pi}^{2\pi} \lambda^2_{srms}(M, \theta) d\theta$$

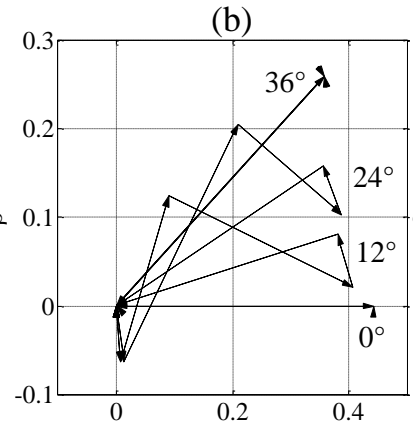
Rizado de Corriente: Paso 1

$M = 0.8$

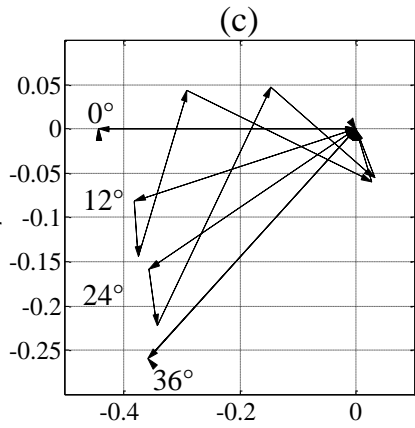
$2L + 2M$ SVPWM



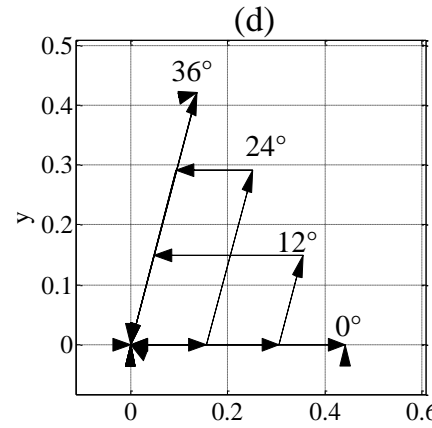
SVPWM
 α - β plane



DPWMMAX
 α - β plane

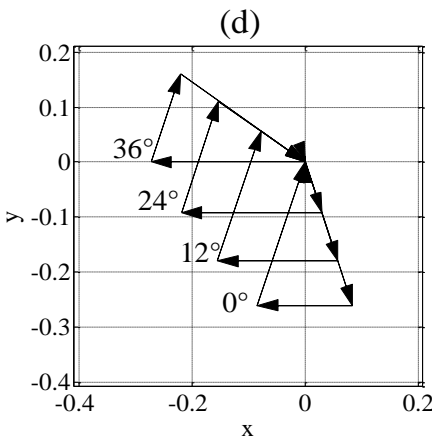
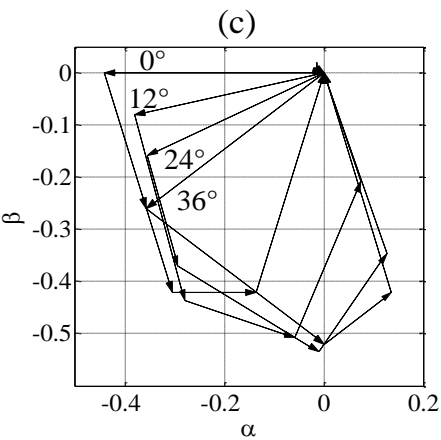
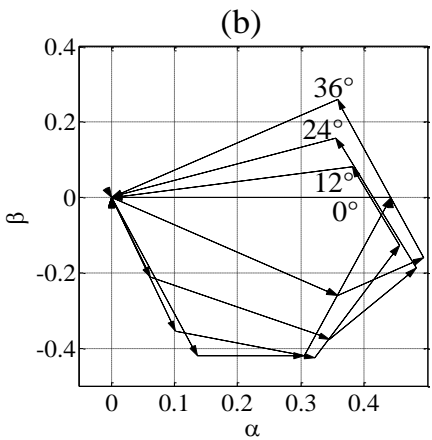
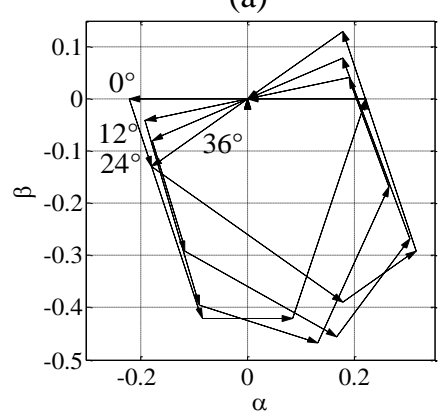


DPWMMIN
 α - β plane



x - y plane

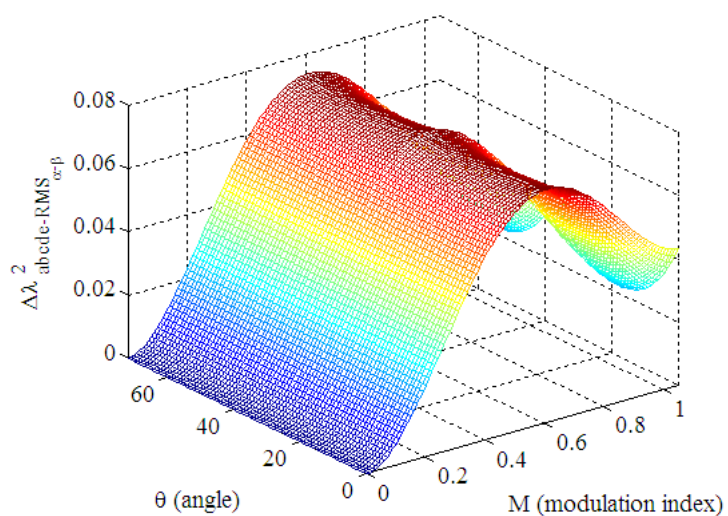
$4L$ SVPWM



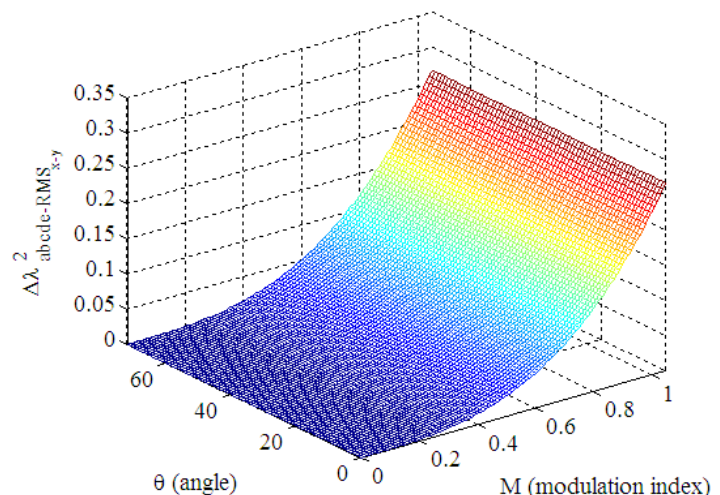
Harmonic Flux trajectories

Rizado de Corriente: Paso 2

2L+2M SVPWM

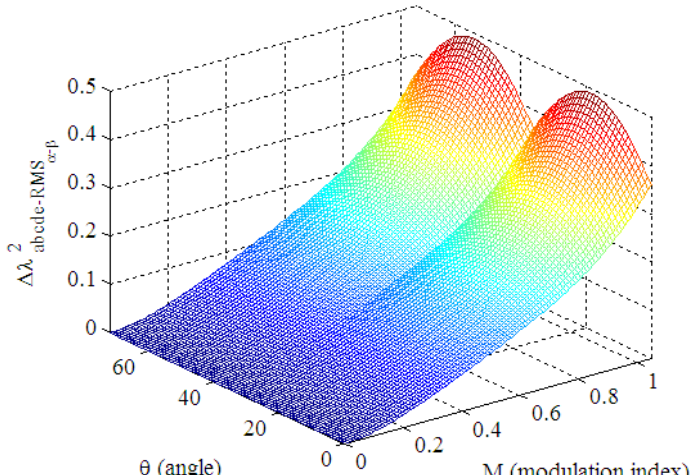


$\alpha-\beta$ plane

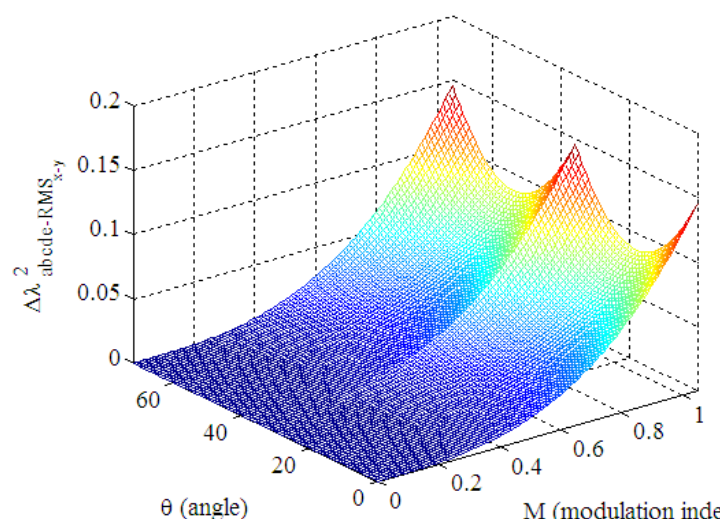


$x-y$ plane

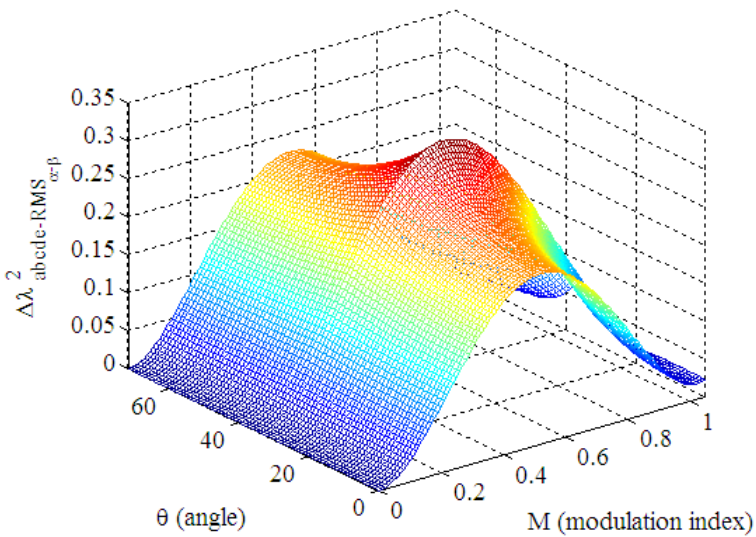
4L SVPWM



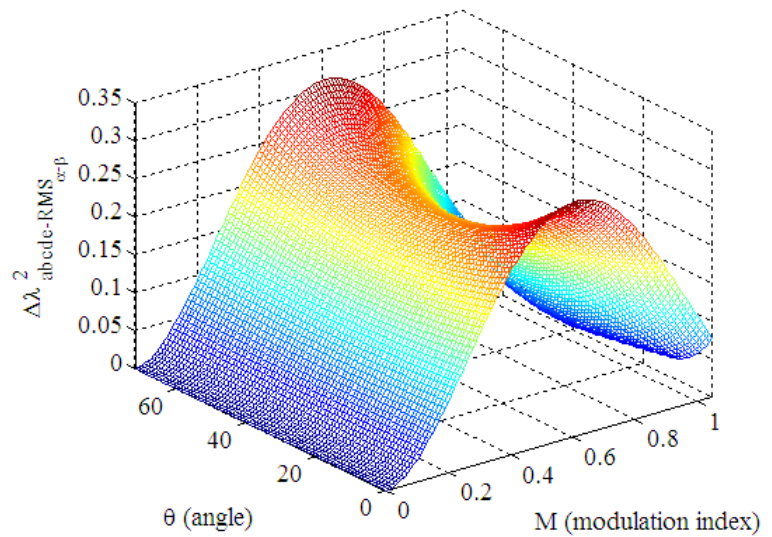
Harmonic Flux RMS



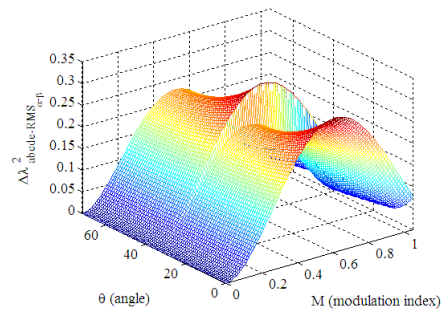
Rizado de Corriente: Paso 3



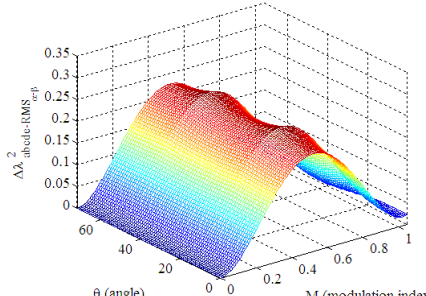
2L+2M DPWM MAX
 $\alpha-\beta$ plane



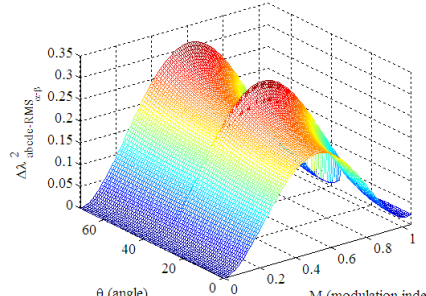
2L+2M DPWM MIN
 $\alpha-\beta$ plane



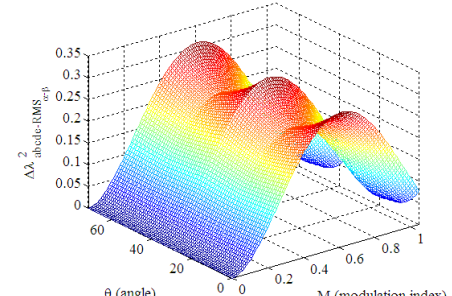
2L+2M DPWM0



2L+2M DPWM1



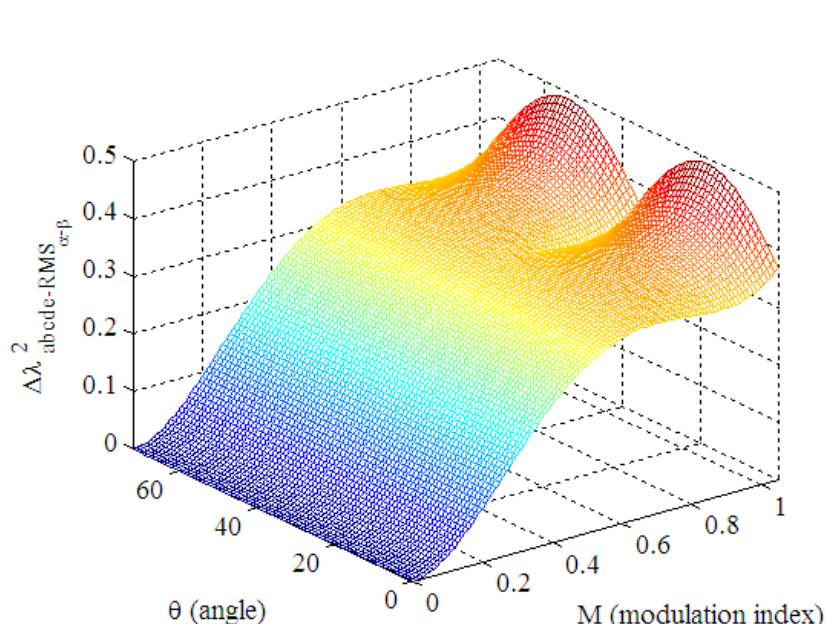
2L+2M DPWM2



2L+2M DPWM3

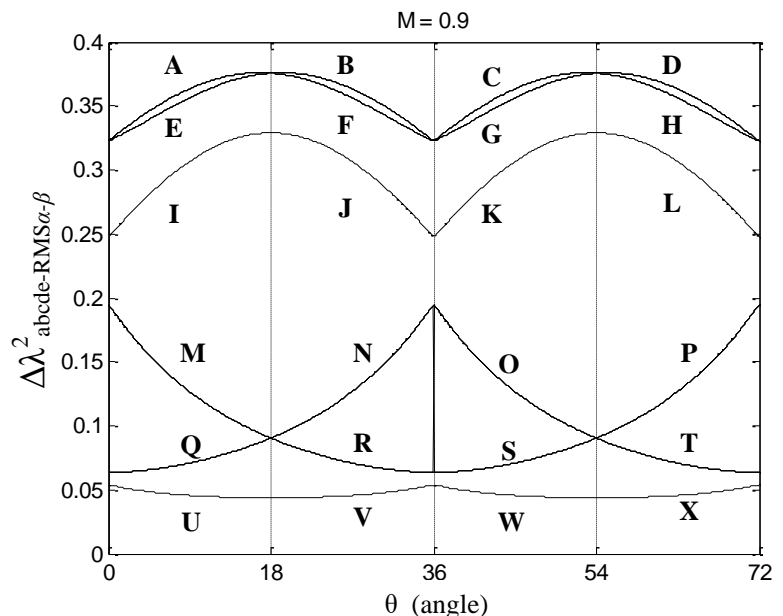
Harmonic Flux RMS

Rizado de Corriente: Paso 2



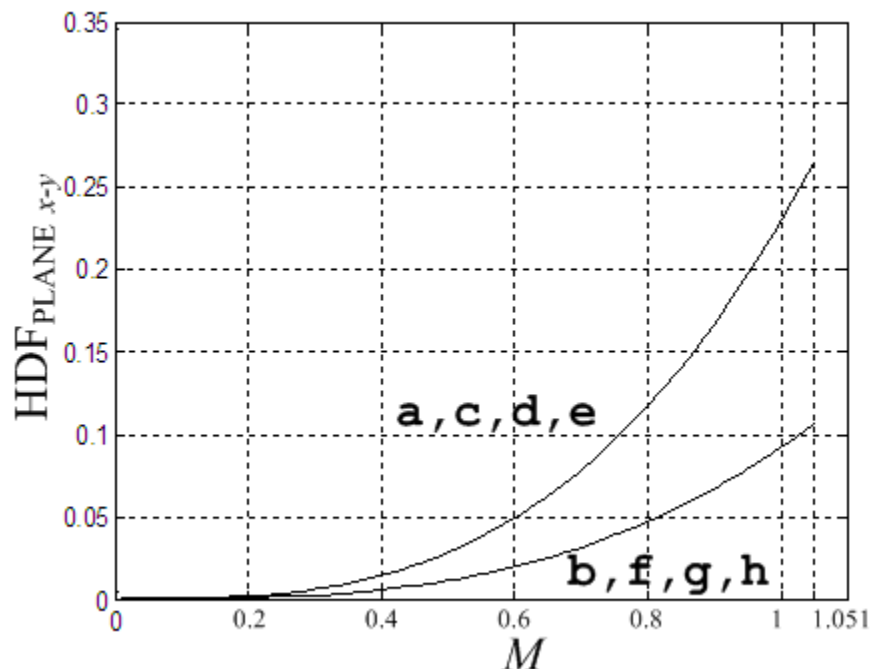
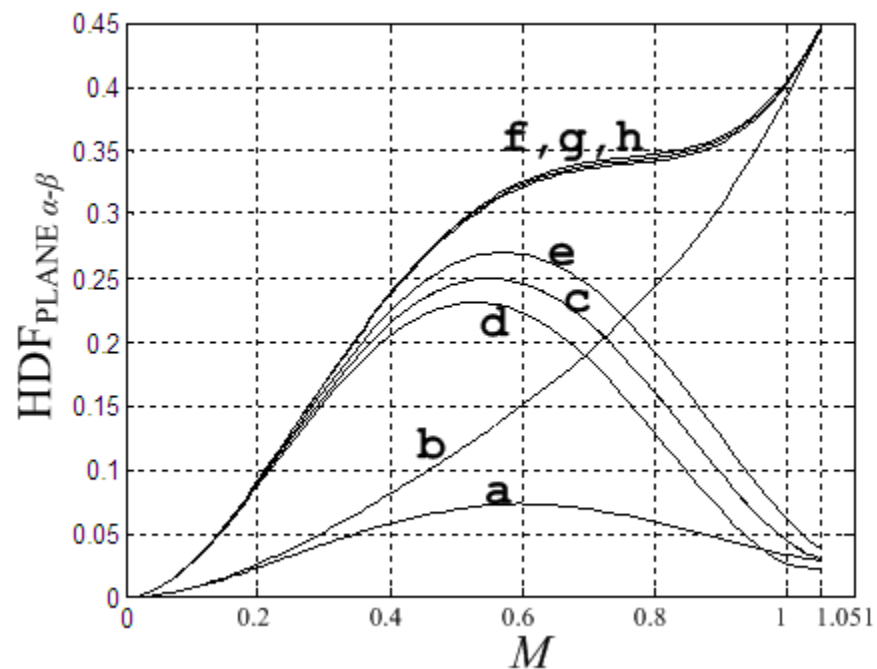
4L discontinuous SVPWM

$\alpha-\beta$ plane



(2L+2M) SVPWM	\rightarrow	U-V-W-X	(4L) SVPWM	\rightarrow	I-J-K-L
(2L+2M) DPWMMAX	\rightarrow	Q-N-O-T	(4L) DPWMMAX	\rightarrow	A-F-G-D
(2L+2M) DPWMMIN	\rightarrow	M-R-S-P	(4L) DPWMMIN	\rightarrow	E-B-C-H
(2L+2M) DPWM0	\rightarrow	M-R-O-T	(4L) DPWM0	\rightarrow	E-B-G-D
(2L+2M) DPWM1	\rightarrow	Q-R-S-T	(4L) DPWM1	\rightarrow	A-B-C-D
(2L+2M) DPWM2	\rightarrow	Q-N-S-P	(4L) DPWM2	\rightarrow	A-F-C-H
(2L+2M) DPWM3	\rightarrow	M-N-O-P	(4L) DPWM3	\rightarrow	E-F-G-H

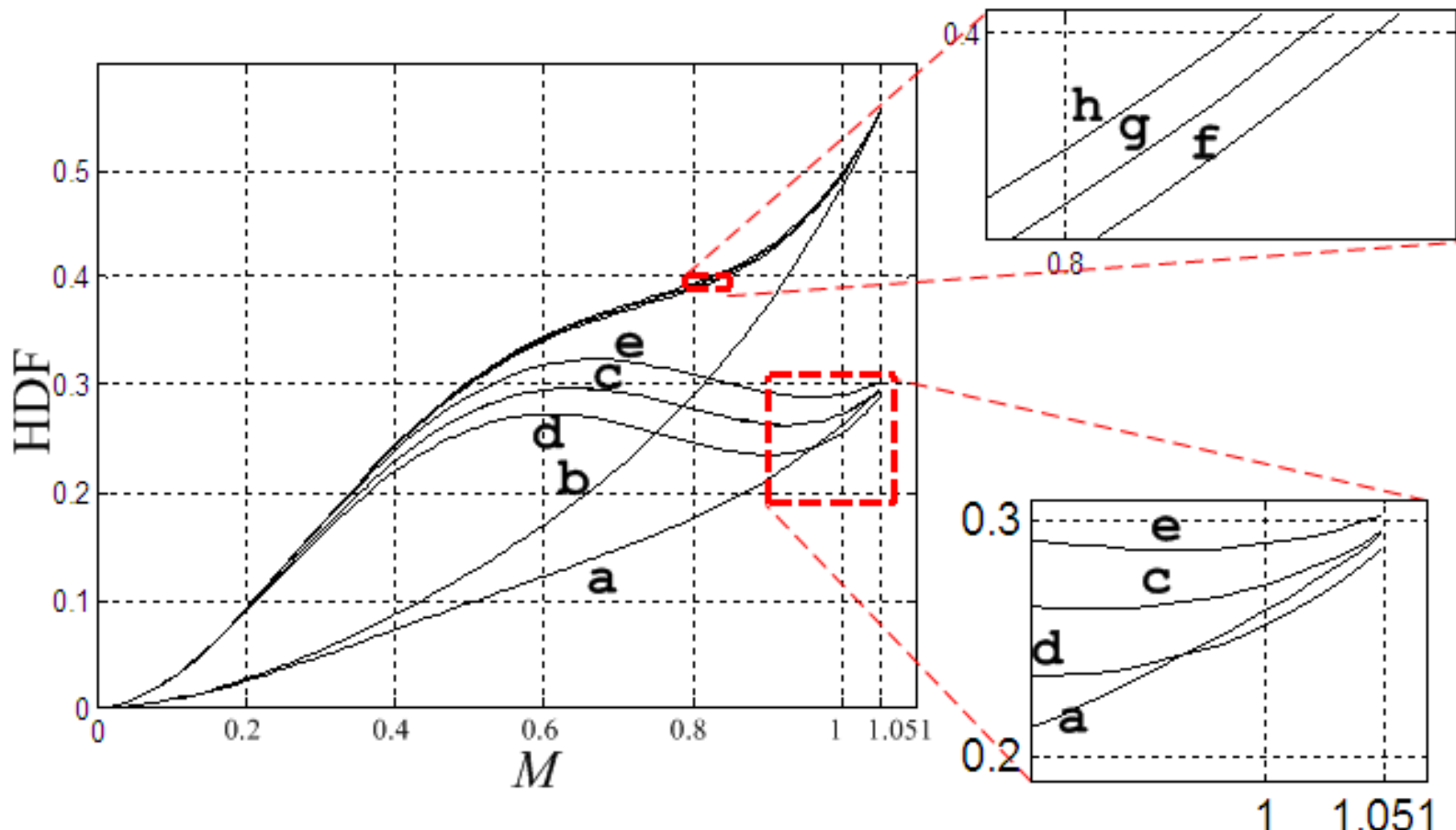
Rizado de Corriente: Paso 3



PWM TECHNIQUES

- | | | | |
|--------------------------|--|--------------------------|--|
| a → (2L+2M) SVPWM | c → (2L+2M) DPWMMAX,
(2L+2M) DPWMIN, | d → (2L+2M) DPWM1 | g → (4L) DPWMMAX,
(4L) DPWMIN, |
| b → (4L) SVPWM | (2L+2M) DPWM0,
(2L+2M) DPWM2 | e → (2L+2M) DPWM3 | (4L) DPWM0,
(4L) DPWM2 |
| | | f → (4L) DPWM3 | |
| | | h → (4L) DPWM1 | |

Rizado de Corriente: Paso 3



PWM TECHNIQUES

- | | | | |
|-------------------------------|----------------------------------|-------------------------------|-------------------------------|
| $a \rightarrow (2L+2M)$ SVPWM | $c \rightarrow (2L+2M)$ DPWMMAX, | $d \rightarrow (2L+2M)$ DPWM1 | $g \rightarrow (4L)$ DPWMMAX, |
| $b \rightarrow (4L)$ SVPWM | $(2L+2M)$ DPWMMIN, | $e \rightarrow (2L+2M)$ DPWM3 | $(4L)$ DPWMIN, |
| | $(2L+2M)$ DPWM0, | $f \rightarrow (4L)$ DPWM3 | $(4L)$ DPWM0, |
| | $(2L+2M)$ DPWM2 | $h \rightarrow (4L)$ DPWM1 | $(4L)$ DPWM2 |

Rizado de Corriente

No podemos medir el HDF, pero podemos medir el THD de la corriente

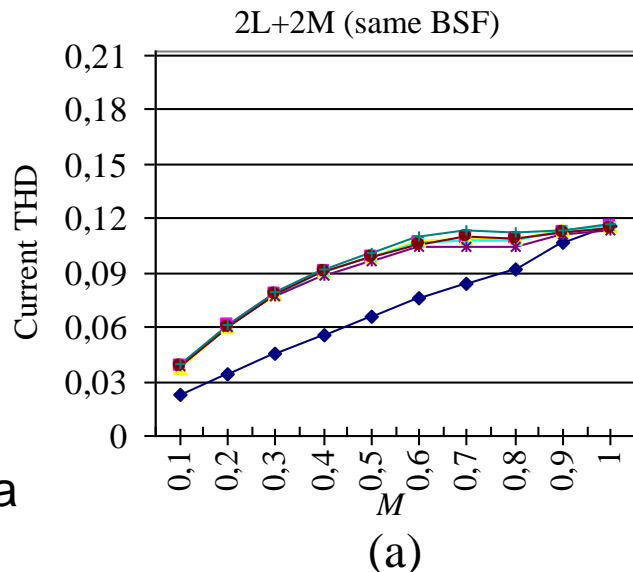
$$\text{THD}_i = \left(\frac{V_{dc} T_s}{8} \right) \frac{\sqrt{HDF_{\alpha-\beta}/L_{\alpha-\beta}^2 + HDF_{x-y}/L_{x-y}^2}}{I_1}$$

Análisis de rizado de corriente

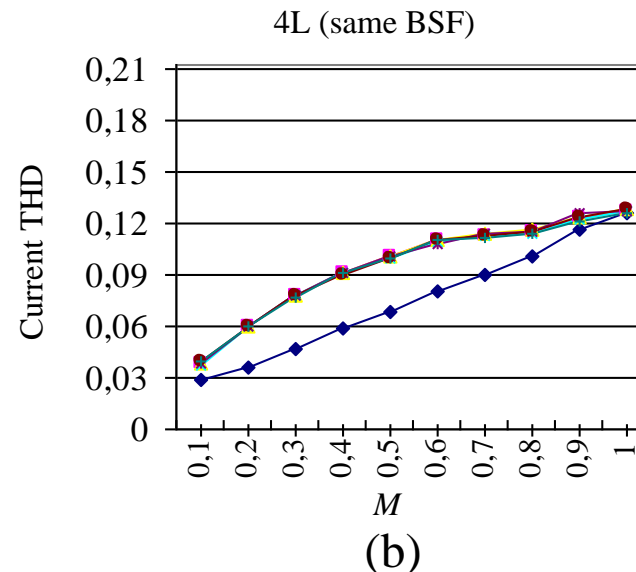
Resultados experimentales

◆ SVPWM ■ DPWMMAX ★ DPWMMIN
✖ DPWM0 * DPWM1 ● DPWM2 — DPWM3

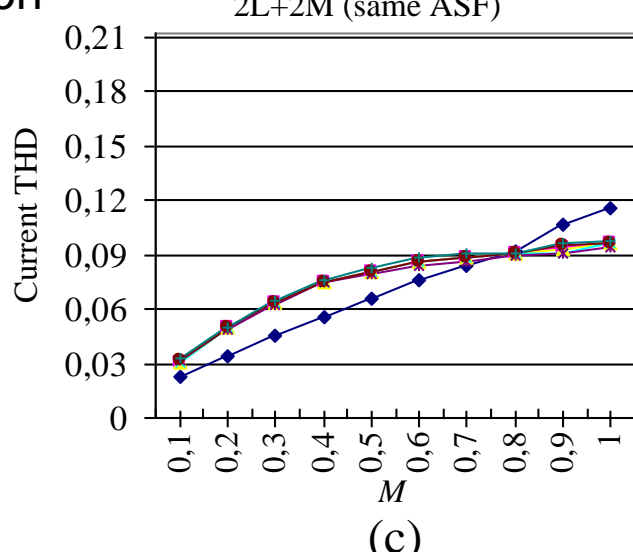
Misma
frecuencia
base de
comutación



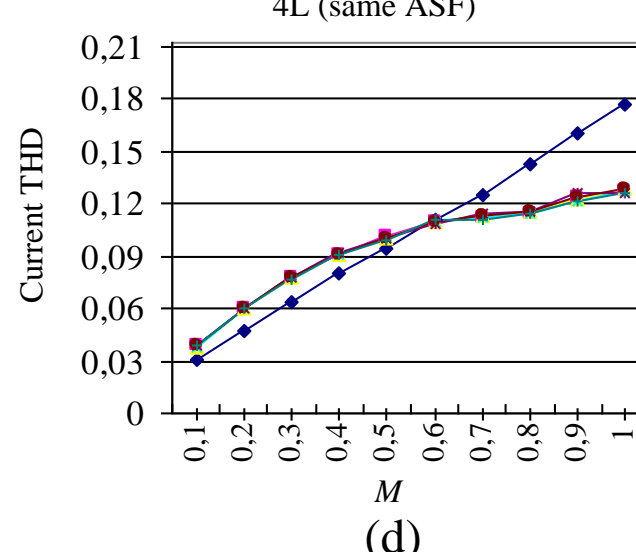
(a)



(b)



(c)



Misma
frecuencia
promedio de
comutación

Análisis de rizado de corriente

HDF es independiente de la carga, pero el THD de corriente no. De hecho:

$$\text{THD}_i = \left(\frac{V_{dc} T_s}{8} \right) \frac{\sqrt{HDF_{\alpha-\beta} / L_{\alpha-\beta}^2 + HDF_{x-y} / L_{x-y}^2}}{I_1}$$

Las máquinas multifásicas tienen diferentes valores de inductancias para diferentes planos

Análisis de rizado de corriente

FLUX HDF FOR (2L+2M) PWM TECHNIQUES USING THE POLYGON CONNECTION AND THE SAME BASE SWITCHING FREQUENCY.

PWM Method	HDF Analytical expression
SVPWM (2L+2M)	$HDF_{P1} = \frac{1}{16\pi} (8\pi - 35K_1 + 20K_2 - 2\pi J_1 - 10\pi J_2)M^4 - \frac{8}{9\pi} (3K_1 - K_2)M^3 + \frac{1}{3}(1 - J_2)M^2$ $HDF_{P2} = \frac{1}{16\pi} (6\pi - 15K_1 + 5K_2 + 4\pi J_1 - 2\pi J_2)M^4 - \frac{8}{9\pi} (K_1 + 3K_2)M^3 + \frac{1}{3}(1 + J_1)M^2$ $HDF = \frac{1}{16\pi} (14\pi - 50K_1 + 25K_2 + 2\pi J_1 - 12\pi J_2)M^4 - \frac{16}{9\pi} (2K_1 + K_2)M^3 + \frac{1}{3}(2 + J_1 - J_2)M^2$
DPWM _{MAX} , DPWM _{MIN} , DPWM ₀ , DPWM ₂ (2L+2M)	$HDF_{P1} = \frac{1}{8\pi} (6\pi - 5K_1 + 10K_2 - 6\pi J_2)M^4 - \frac{1}{9\pi} (159K_1 - 53K_2)M^3 + \frac{4}{3}(1 - J_2)M^2$ $HDF_{P2} = \frac{1}{8\pi} (6\pi + 5K_1 + 15K_2 + 6\pi J_1)M^4 - \frac{1}{9\pi} (98K_1 + 69K_2)M^3 + \frac{4}{3}(1 + J_1)M^2$ $HDF = \frac{1}{8\pi} (12\pi + 25K_2 + 6\pi J_1 - 6\pi J_2)M^4 - \frac{1}{9\pi} (257K_1 + 16K_2)M^3 + \frac{4}{3}(2 + J_1 - J_2)M^2$
DPWM ₁ (2L+2M)	$HDF_{P1} = \frac{1}{4\pi} (3\pi + 15K_1 - 5K_2 - 3\pi J_2)M^4 + \frac{2}{9\pi} (45 - 12K_1 + 4K_2 - 45J_1 - 90J_2)M^3 + \frac{4}{3}(1 - J_2)M^2$ $HDF_{P2} = \frac{1}{4\pi} (3\pi + 10K_1 + 5K_2 + 3\pi J_1)M^4 + \frac{2}{9\pi} (-4K_1 - 12K_2 - 45J_1 - 45J_2)M^3 + \frac{4}{3}(1 + J_1)M^2$ $HDF = \frac{1}{4\pi} (6\pi + 25K_1 + 3\pi J_1 - 3\pi J_2)M^4 + \frac{2}{9\pi} (45 - 16K_1 - 8K_2 - 90J_1 - 135J_2)M^3 + \frac{4}{3}(2 + J_1 - J_2)M^2$
DPWM ₃ (2L+2M)	$HDF_{P1} = \frac{1}{4\pi} (3\pi - 20K_1 + 15K_2 - 3\pi J_2)M^4 + \frac{2}{9\pi} (-45 - 147K_1 + 49K_2 + 45J_1 + 90J_2)M^3 + \frac{4}{3}(1 - J_2)M^2$ $HDF_{P2} = \frac{1}{4\pi} (3\pi - 5K_1 + 10K_2 + 3\pi J_1)M^4 + \frac{2}{9\pi} (-94K_1 - 57K_2 + 45J_1 + 45J_2)M^3 + \frac{4}{3}(1 + J_1)M^2$ $HDF = \frac{1}{4\pi} (6\pi - 25K_1 + 25K_2 + 3\pi J_1 - 3\pi J_2)M^4 + \frac{2}{9\pi} (-45 - 241K_1 - 8K_2 + 90J_1 + 135J_2)M^3 + \frac{4}{3}(2 + J_1 - J_2)M^2$

Análisis de rizado de corriente

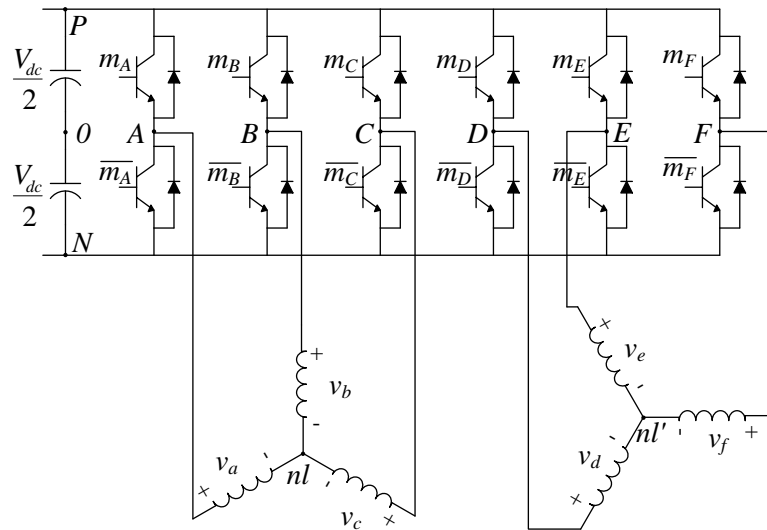
FLUX HDF FOR (4L) PWM TECHNIQUES USING THE POLYGON CONNECTION AND THE SAME BASE SWITCHING FREQUENCY.

PWM Method	HDF Analytical expression
SVPWM (4L)	$HDF_{P1} = \frac{1}{16\pi} (8\pi - 35K_1 + 20K_2 - 2\pi J_1 - 10\pi J_2)M^4 + \frac{1}{9\pi} (-24K_1 + 8K_2)M^3 + \frac{1}{3}(1 - J_2)M^2$ $HDF_{P2} = \frac{1}{16\pi} (6\pi - 15K_1 + 5K_2 + 4\pi J_1 - 2\pi J_2)M^4 + \frac{1}{9\pi} (-96K_1 + 37K_2)M^3 + \frac{1}{3}(1 + J_1)M^2$ $HDF = \frac{1}{16\pi} (14\pi - 50K_1 + 25K_2 + 2\pi J_1 - 12\pi J_2)M^4 + \frac{1}{3\pi} (-40K_1 + 15K_2)M^3 + \frac{1}{3}(2 + J_1 - J_2)M^2$
DPWMMAX, DPWMMIN, DPWM0, DPWM2 (4L)	$HDF_{P1} = \frac{1}{8\pi} (6\pi - 5K_1 + 10K_2 - 6\pi J_2)M^4 + \frac{1}{9\pi} (-159K_1 + 53K_2)M^3 + \frac{4}{3}(1 - J_2)M^2$ $HDF_{P2} = \frac{1}{8\pi} (6\pi + 5K_1 + 15K_2 + 6\pi J_1)M^4 + \frac{1}{9\pi} (-186K_1 - 8K_2)M^3 + \frac{4}{3}(1 + J_1)M^2$ $HDF = \frac{1}{8\pi} (12\pi + 25K_2 + 6\pi J_1 - 6\pi J_2)M^4 - \frac{5}{3\pi} (23K_1 - 3K_2)M^3 + \frac{4}{3}(2 + J_1 - J_2)M^2$
DPWM1 (4L)	$HDF_{P1} = \frac{1}{16\pi} (12\pi + 30K_1 - 5K_2 - 12\pi J_2)M^4 - \frac{1}{9\pi} (18 + 189K_1 - 113K_2 + 24J_1 + 6J_2)M^3 + \frac{4}{3}(1 - J_2)M^2$ $HDF_{P2} = \frac{1}{16\pi} (12\pi + 25K_1 + 20K_2 + 12\pi J_1)M^4 - \frac{1}{9\pi} (42 + 156K_1 - 82K_2 + 66J_1 + 24J_2)M^3 + \frac{4}{3}(1 + J_1)M^2$ $HDF = \frac{1}{16\pi} (24\pi + 55K_1 + 15K_2 + 12\pi J_1 - 12\pi J_2)M^4 - \frac{5}{9\pi} (12 + 69K_1 - 39K_2 + 18J_1 + 6J_2)M^3$ $+ \frac{4}{3}(2 + J_1 - J_2)M^2$
DPWM3 (4L)	$HDF_{P1} = \frac{1}{16\pi} (12\pi - 50K_1 + 45K_2 - 12\pi J_2)M^4 - \frac{1}{9\pi} (-18 + 129K_1 + 7K_2 - 24J_1 - 6J_2)M^3 + \frac{4}{3}(1 - J_2)M^2$ $HDF_{P2} = \frac{1}{16\pi} (12\pi - 5K_1 + 40K_2 + 12\pi J_1)M^4 - \frac{1}{9\pi} (-42 + 216K_1 + 98K_2 - 66J_1 - 24J_2)M^3 + \frac{4}{3}(1 + J_1)M^2$ $HDF = \frac{1}{16\pi} (24\pi - 55K_1 + 85K_2 + 12\pi J_1 - 12\pi J_2)M^4 - \frac{5}{9\pi} (-12 + 69K_1 + 21K_2 - 18J_1 - 6J_2)M^3$ $+ \frac{4}{3}(2 + J_1 - J_2)M^2$

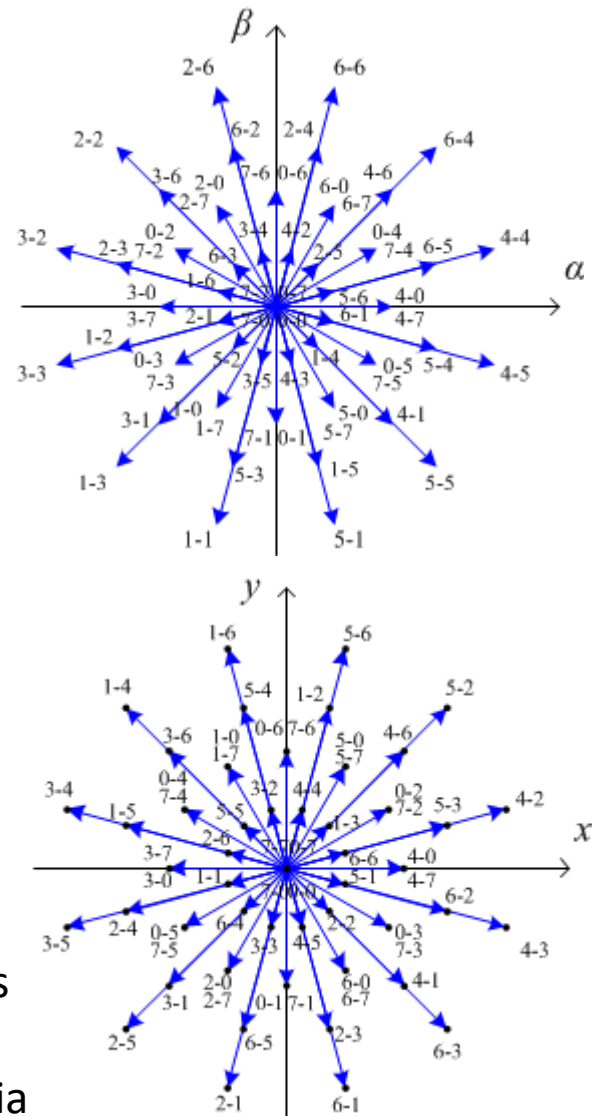
Análisis de rizado de corriente

Caso Seis fases:

Double Zero-Sequence Injection PWM



- $2^6 = 64$ estados de conmutación (pero solo 49 vectores diferentes de tensión).
- Cada vector puede ser representado en dos planos diferentes
- La referencia es obtenida con la utilización selectiva de algunos estados de conmutación aplicados en cierta secuencia

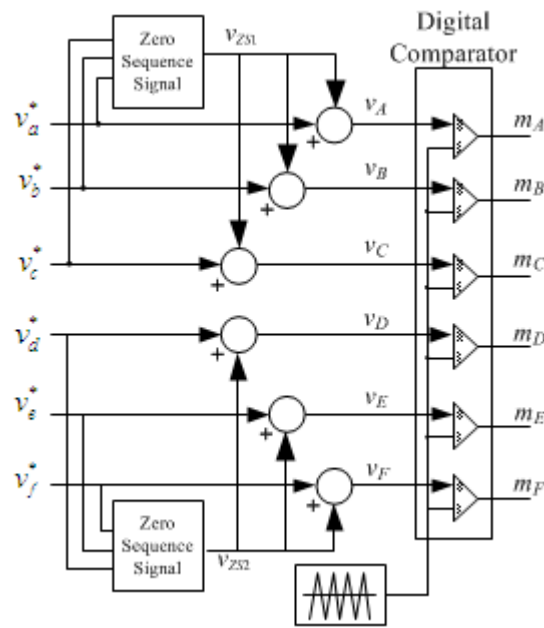


Análisis de rizado de corriente

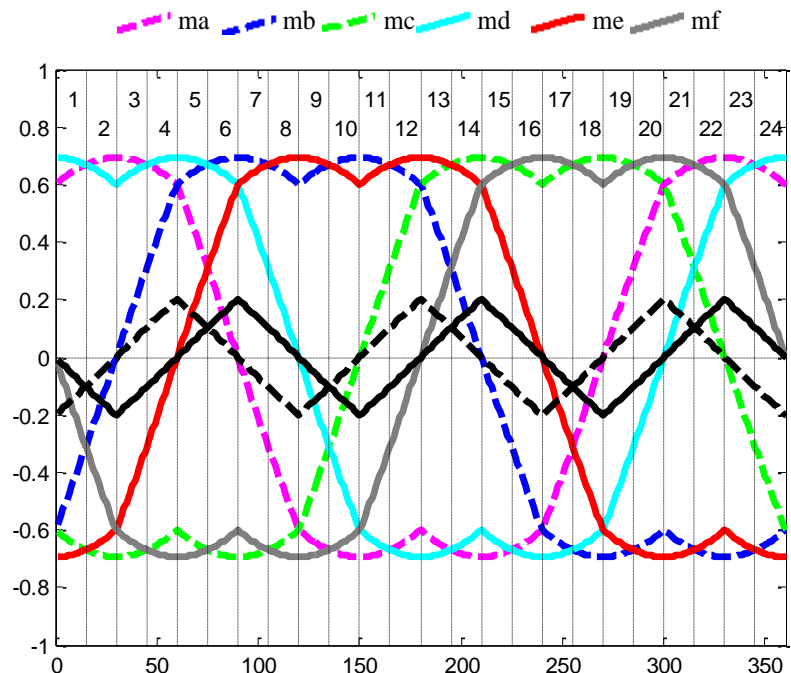
Six phase case:

Double Zero-Sequence Injection PWM

Diagrama de bloques



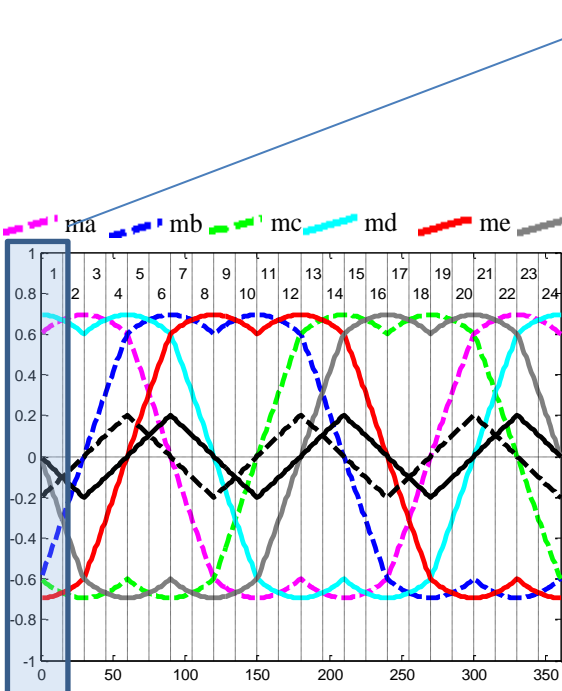
Señales moduladoras y secuencia cero



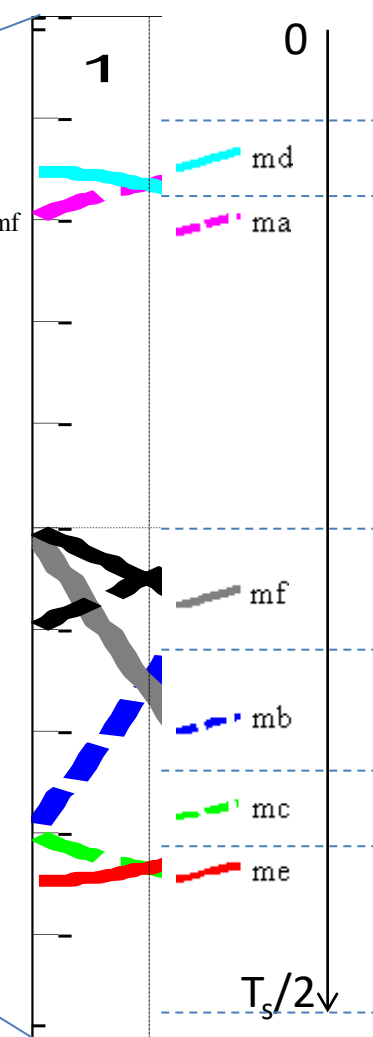
Dos conjuntos de tensiones de referencia con la misma amplitud desfasadas 30º

Análisis de rizado de corriente

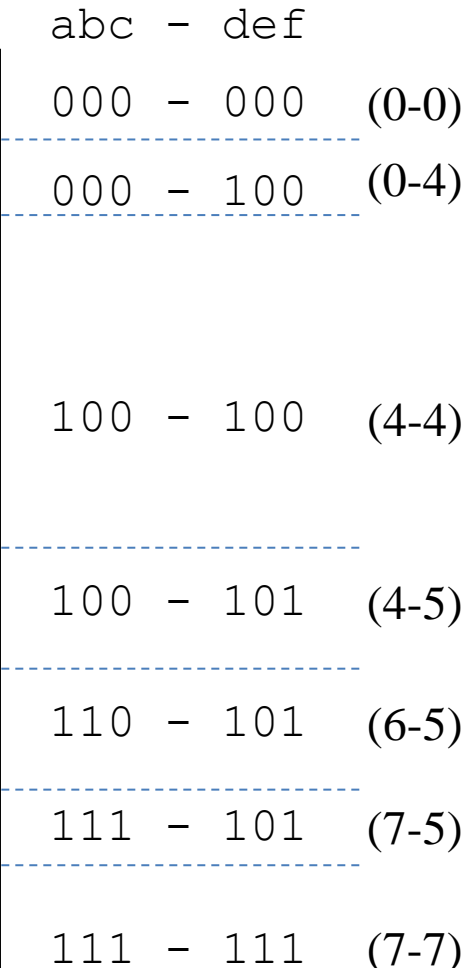
Carrier-based signals



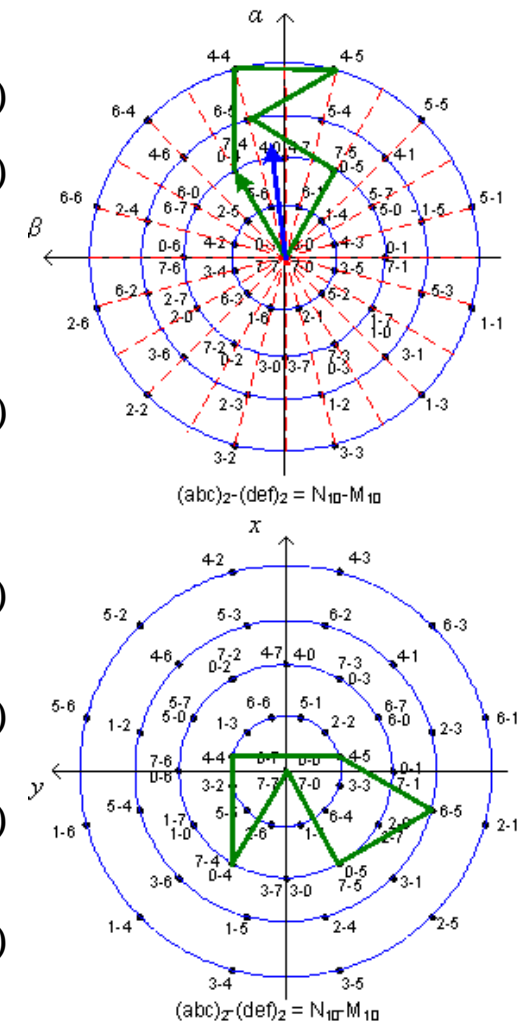
Sector 1



Switching states

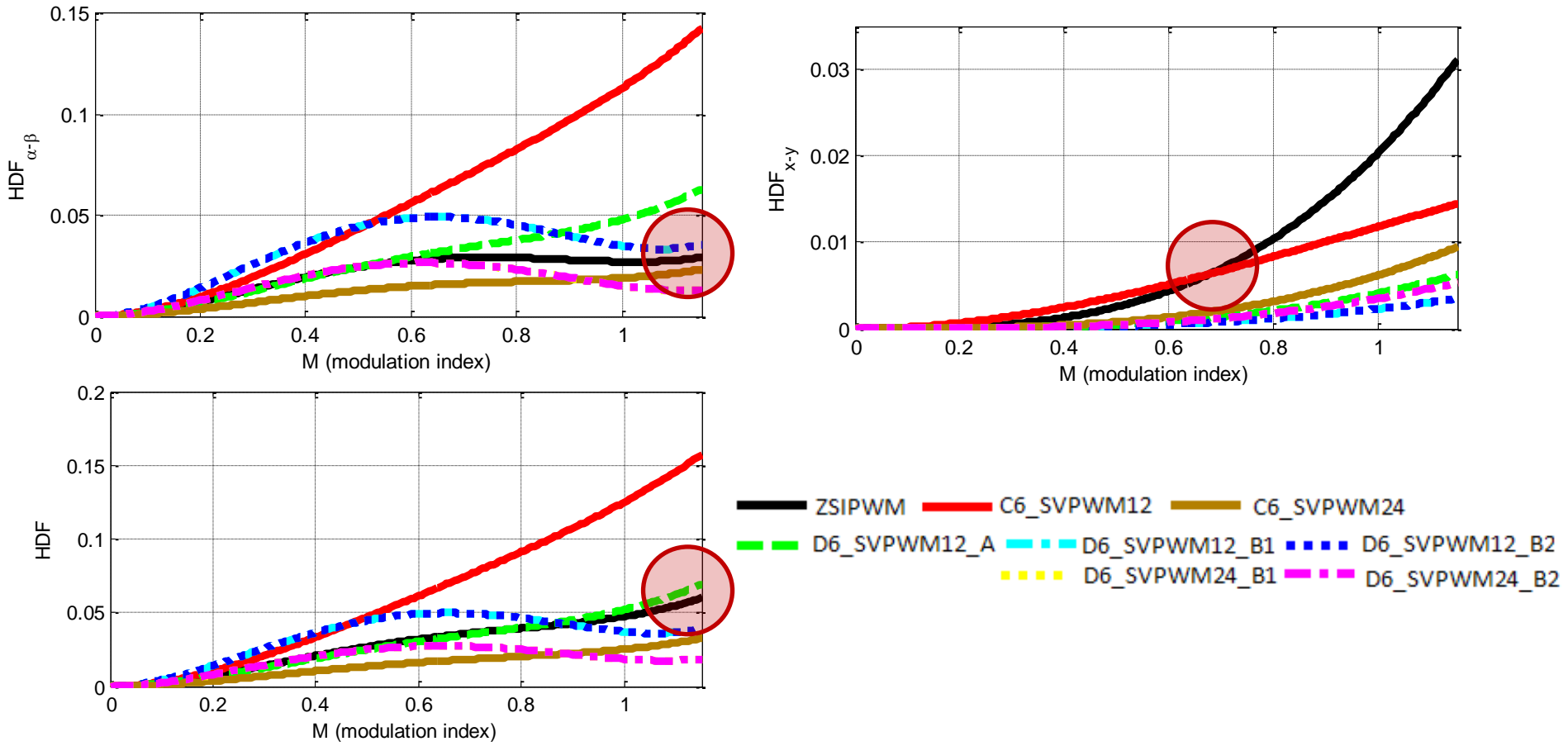


Space Vector equivalence



Análisis de rizado de corriente

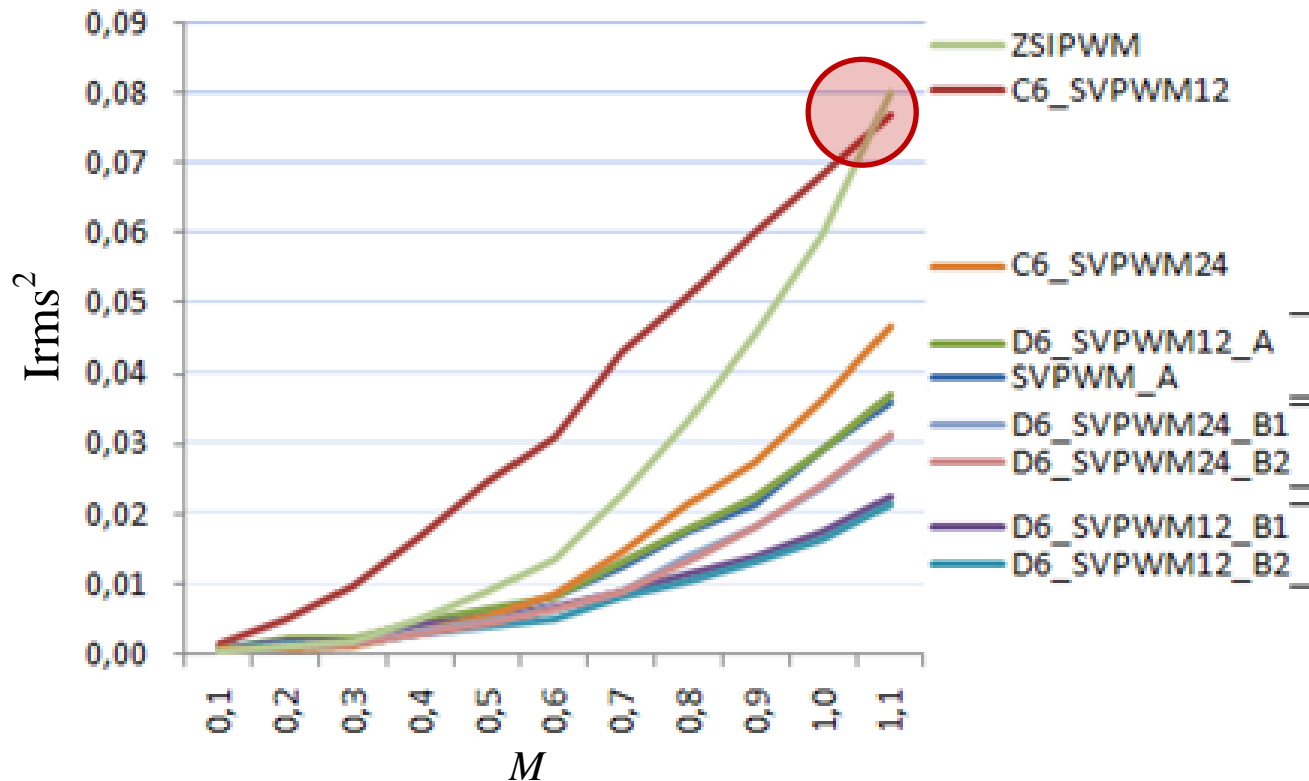
Total Flux Harmonic Distortion Factor (same average switching frequency)



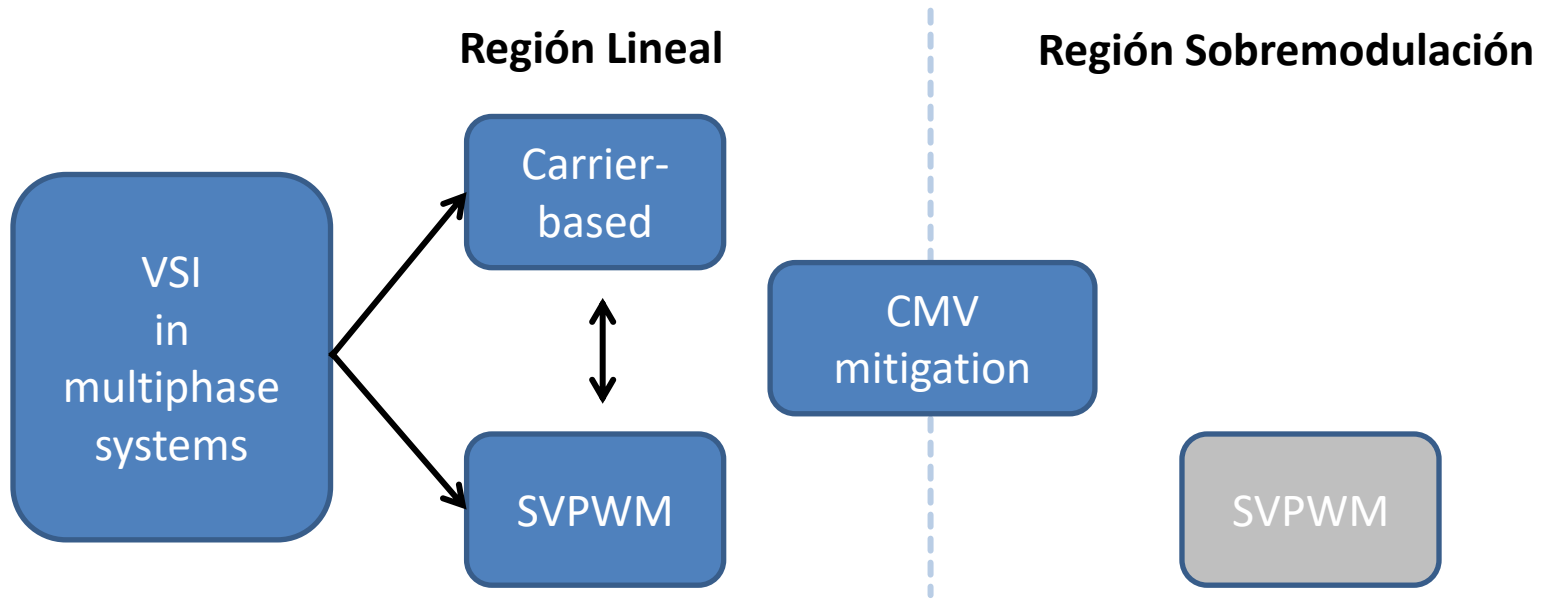
Análisis de rizado de corriente

2 kHz average switching frequency

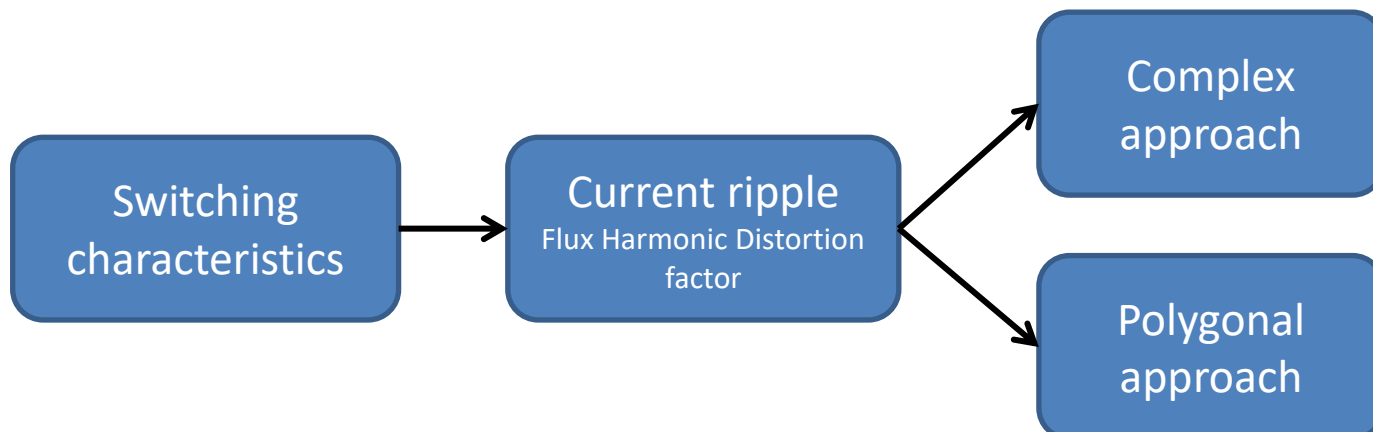
Vdc: 300V



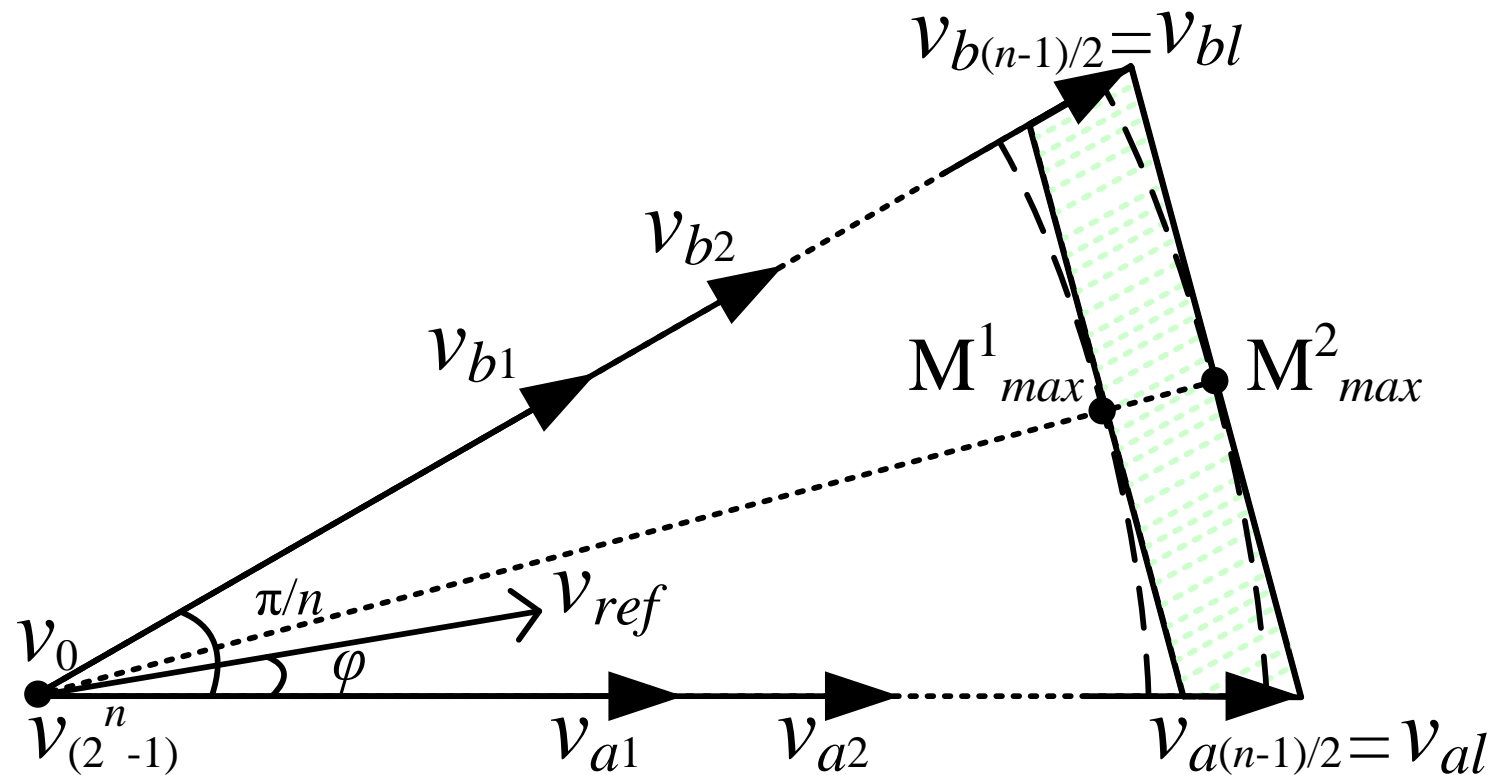
Técnicas PWM para convertidores multifásicos



Indicadores de rendimiento



SVPWM Overmodulation Region



SVPWM Overmodulation Region

Evaluate δ_{ax} and δ_{bx} from (3) and (4)

If $\left(\sum_{x=1}^{(n-1)/2} (\delta_{ax} + \delta_{bx}) \right) \leq 1$ then 'REM linear region
use δ_{ax} and δ_{bx} values

Else 'REM overmodulation zone

Evaluate δ_{al} and δ_{bl} from (5) and (6)

If $\delta_{al} + \delta_{bl} \leq 1$ then

$$R = 1/(\delta_{al} + \delta_{bl})$$

Evaluate (12)

Else

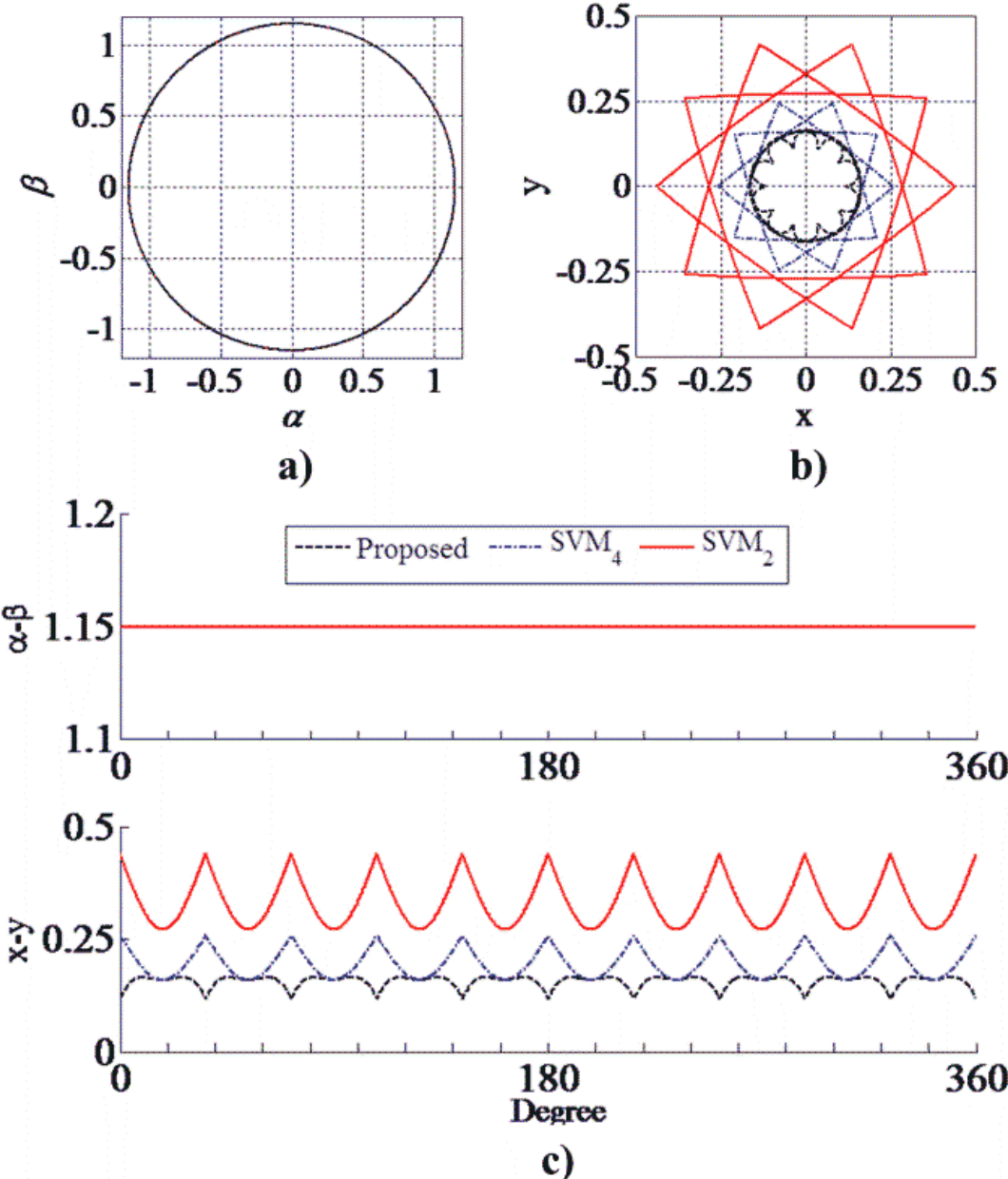
Reference vector cannot be achieved

End if

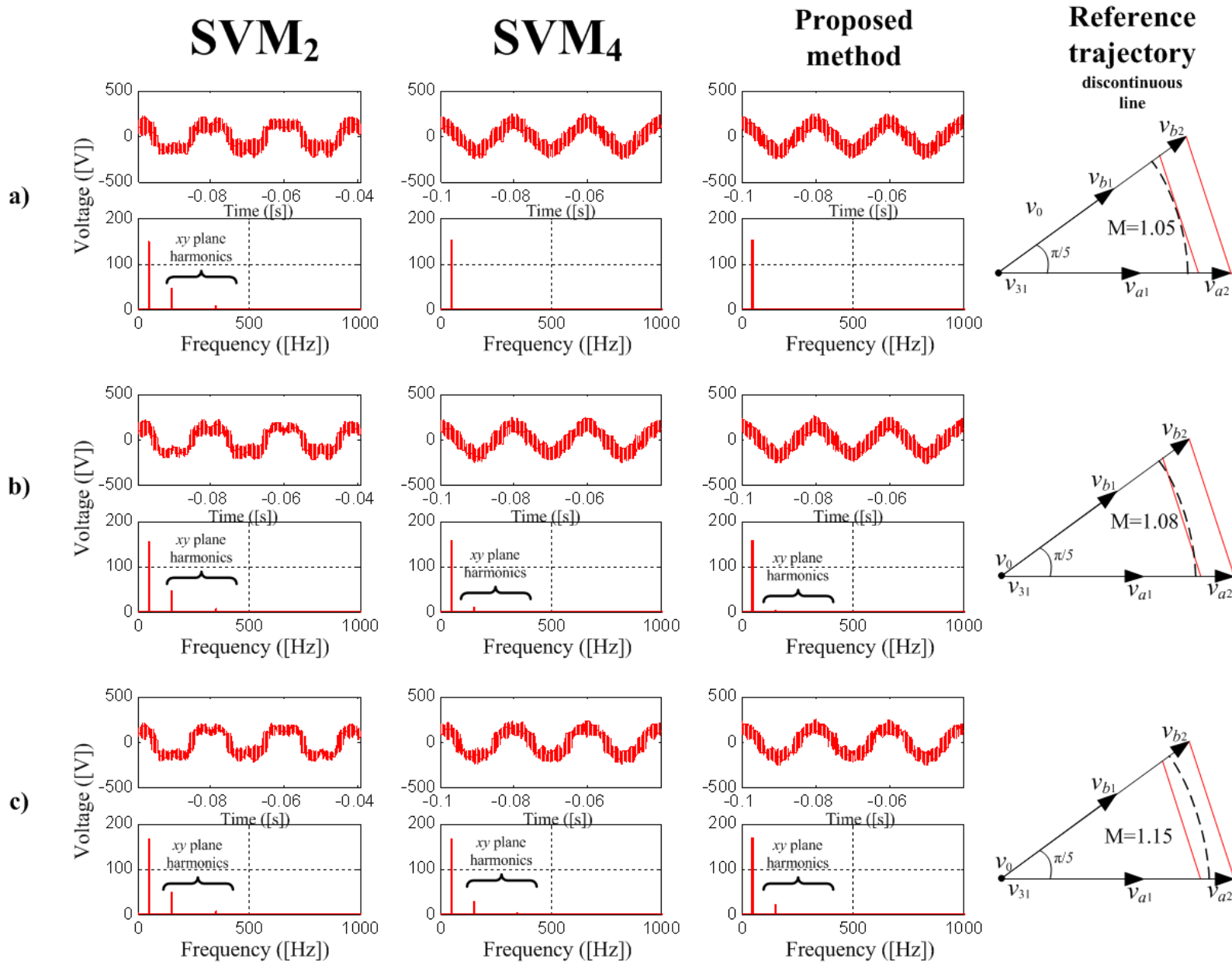
End if

$$\begin{bmatrix} \delta_{a1} \\ \delta_{a2} \\ \delta_{a3} \\ \delta_{a4} \\ \vdots \\ \delta_{a((n-1)/2-1)} \\ \delta_{a(n-1)/2} \end{bmatrix} = \begin{bmatrix} |v_{a1}| & |v_{a2}| & |v_{a3}| & \cdots & /v_{a((n-1)/2-2)}/ & /v_{a((n-1)/2-1)}/ & /v_{a(n-1)/2}/ \\ 1 & 1 & 1 & \cdots & 1 & 1 & 1 \\ -K_2/K_1 & 1 & 0 & \cdots & 0 & 0 & 0 \\ 0 & -K_3/K_2 & 1 & \cdots & 0 & 0 & 0 \\ \vdots & \vdots & \vdots & \ddots & \vdots & \vdots & \vdots \\ 0 & 0 & 0 & \cdots & 1 & 0 & 0 \\ 0 & 0 & 0 & \cdots & -K_{(n-1)/2-1}/K_{(n-2)/2} & 1 & 0 \end{bmatrix}^{-1} \begin{bmatrix} |v_{al}| \cdot \delta_{al} \\ R \cdot \delta_{al} \\ 0 \\ 0 \\ \vdots \\ 0 \\ 0 \end{bmatrix}$$

SVPWM Overmodulation Region



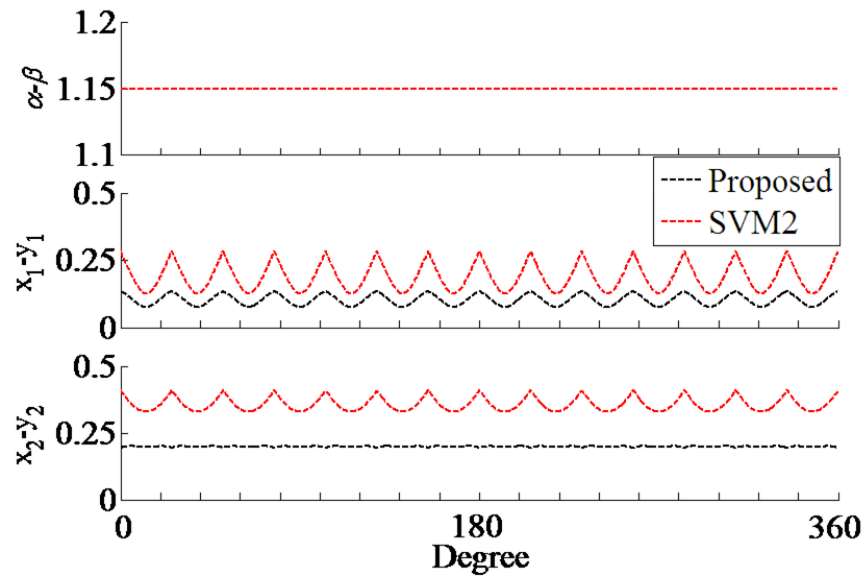
SVPWM Overmodulation Region



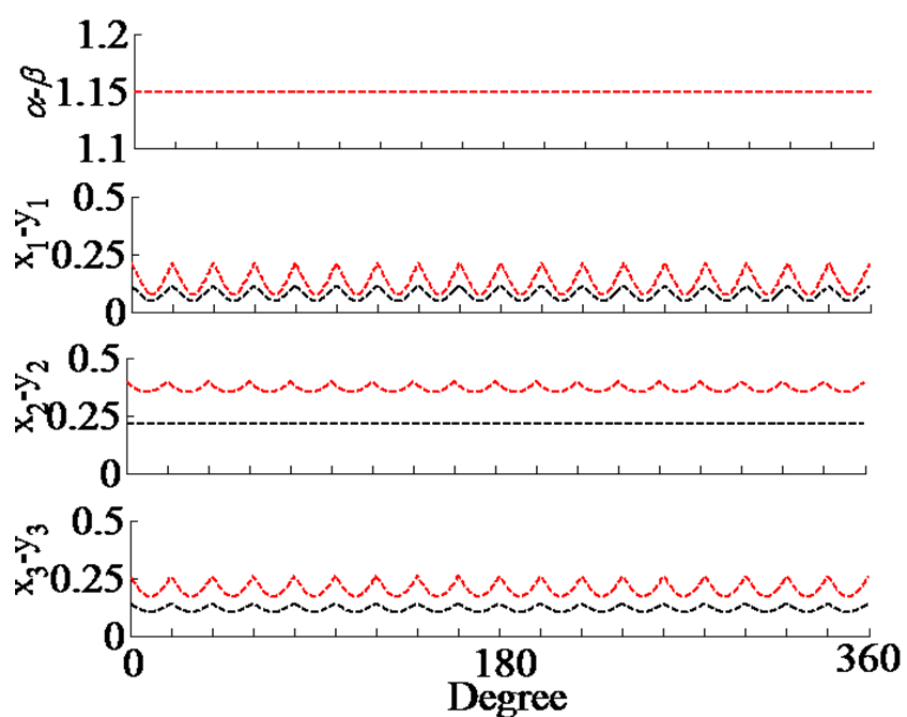
SVPWM Overmodulation Region

General case for odd number of phases

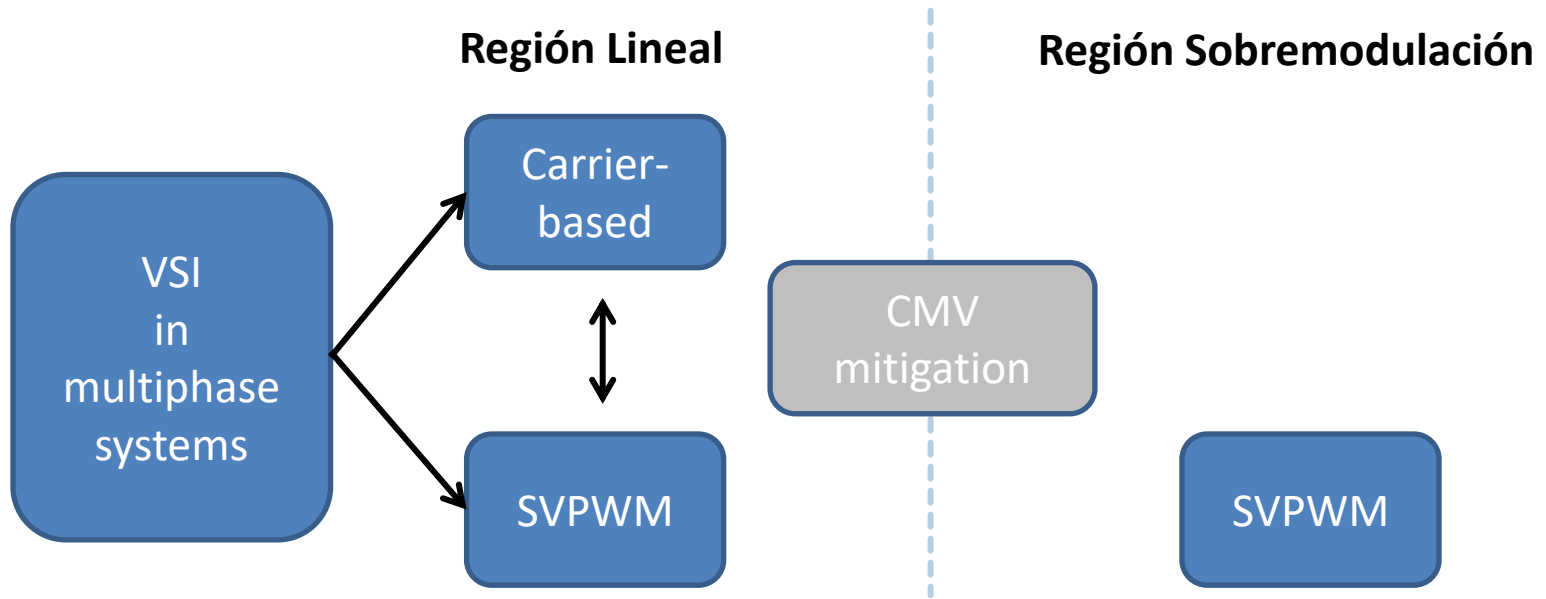
7-phase



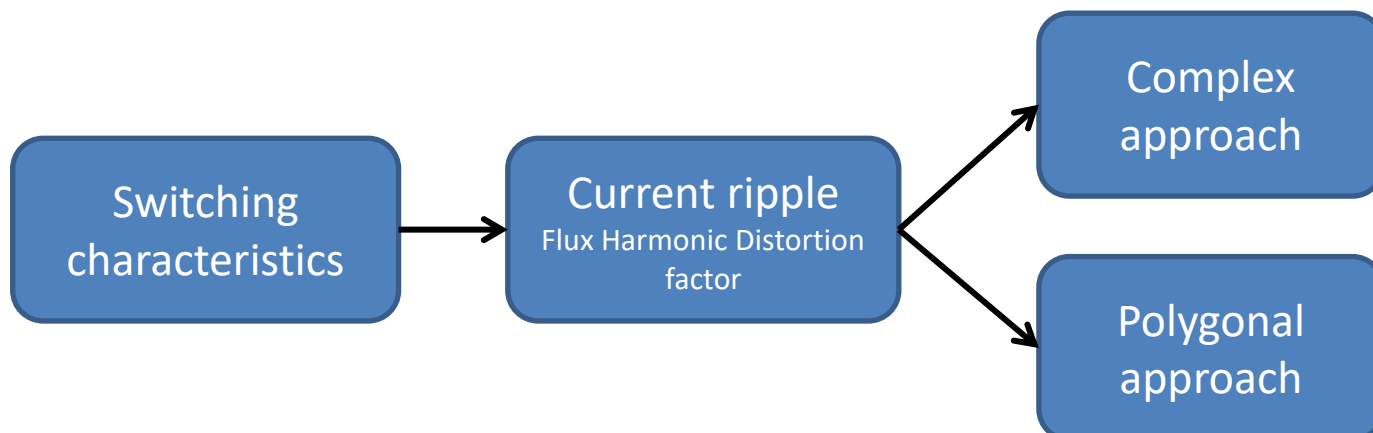
9-phase



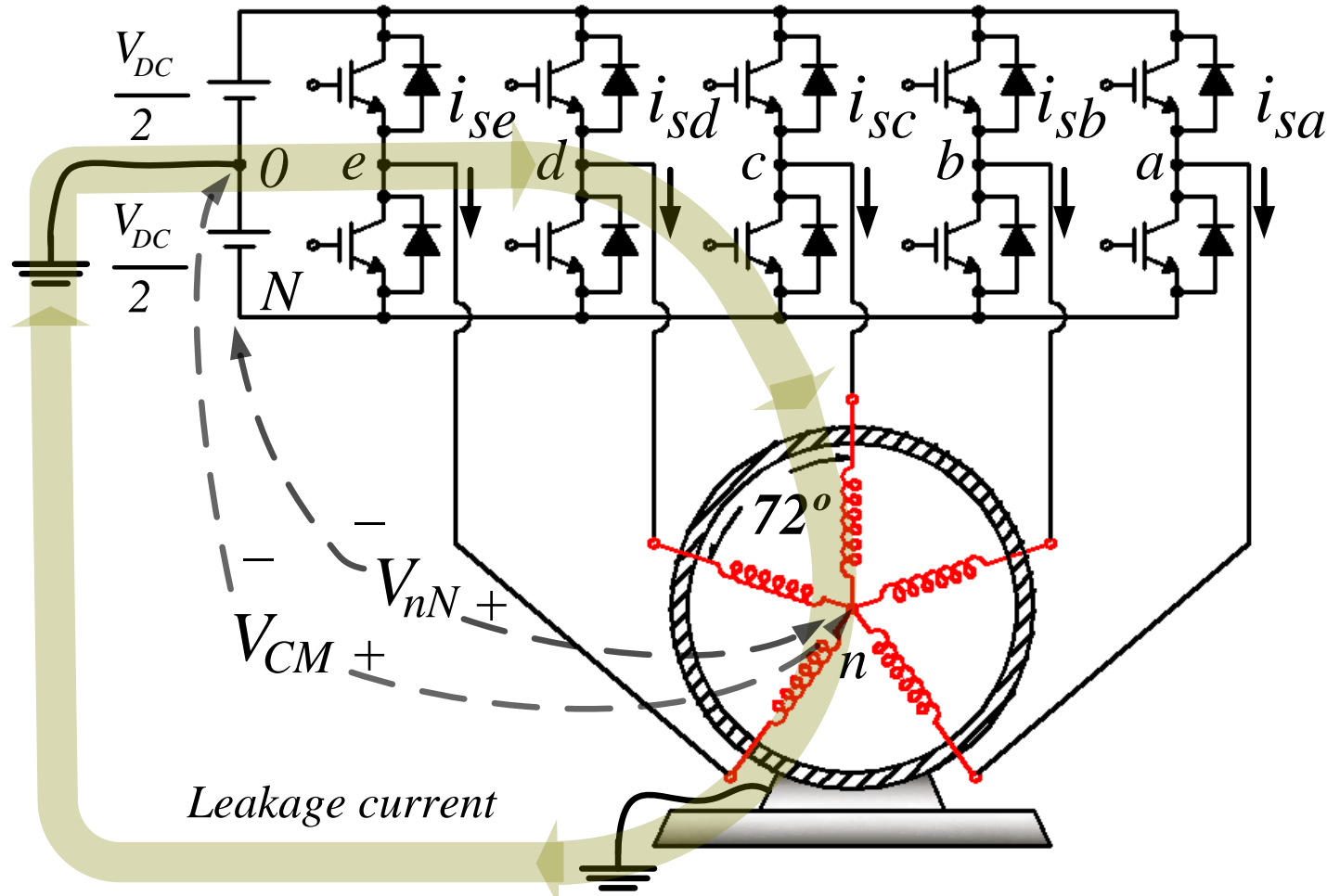
Técnicas PWM para convertidores multifásicos



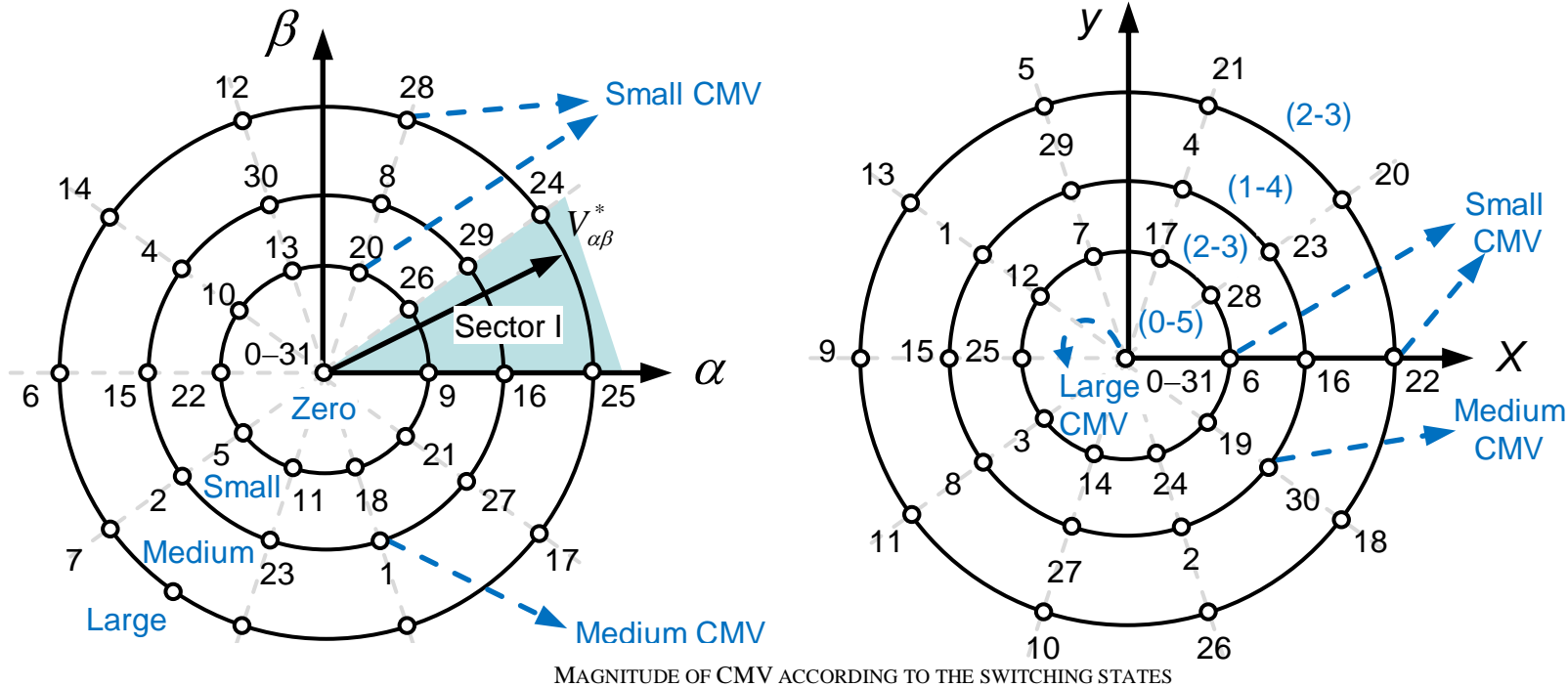
Indicadores de rendimiento



Common Mode Voltage Mitigation



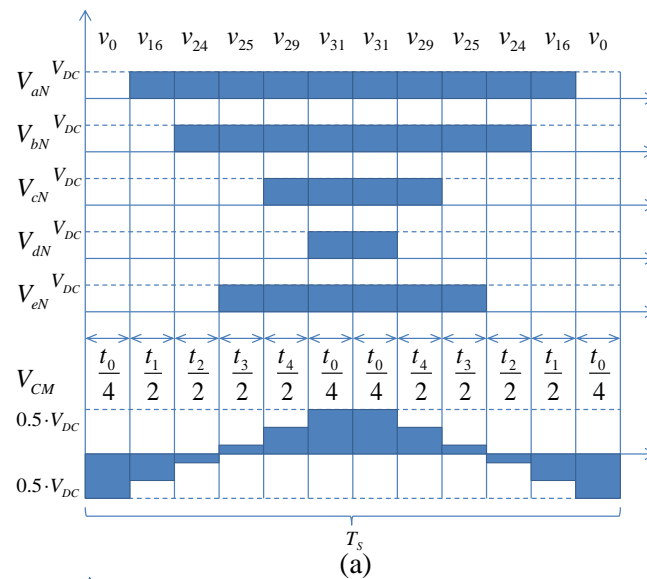
Common-Mode Voltage Mitigation



	Switching states	$\alpha\beta$ Size	$x-y$ Size	$ V_{CM} $
Large CMV (0-5)	{00000} {11111}	Z	Z	$0.5 \cdot V_{DC}$
Medium CMV (1-4)	{00001} {00010} {00100} {01000} {10000}	M	M	$0.3 \cdot V_{DC}$
	{11110} {11101} {11011} {10111} {01111}	M	M	
Small CMV (2-3)	{00011} {11001} {10001} {00110} {01100} {10100} {11000} {00111} {01110} {10011}	L	S	$0.1 \cdot V_{DC}$
	{00101} {11100} {11010} {10110} {10101} {01101} {01011} {01001} {01010} {10010}	S	L	

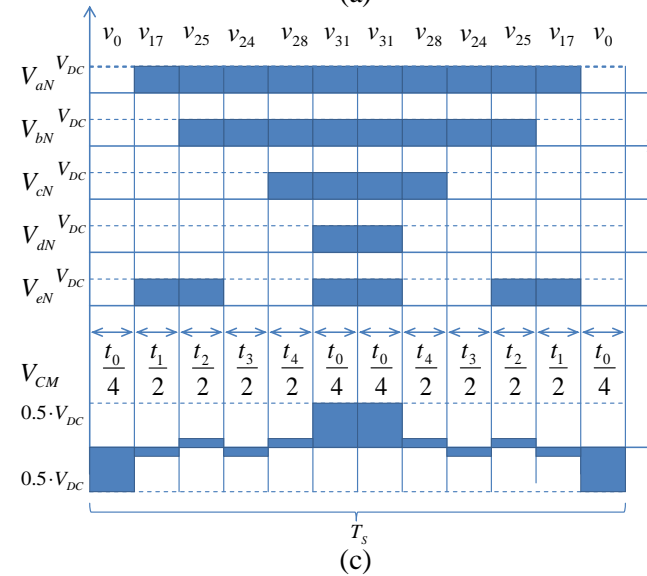
Common-Mode Voltage Mitigation

2L + 2M

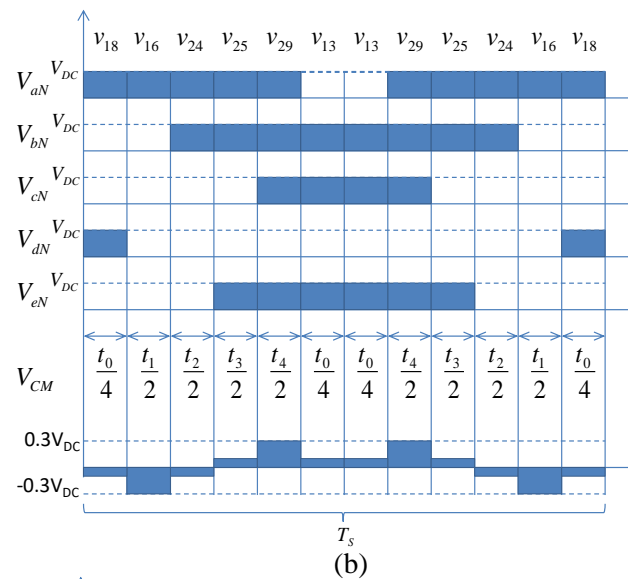


(a)

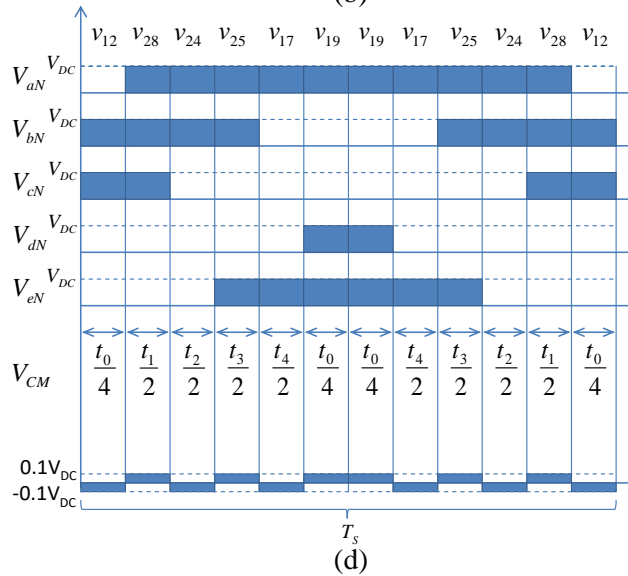
4L



(c)

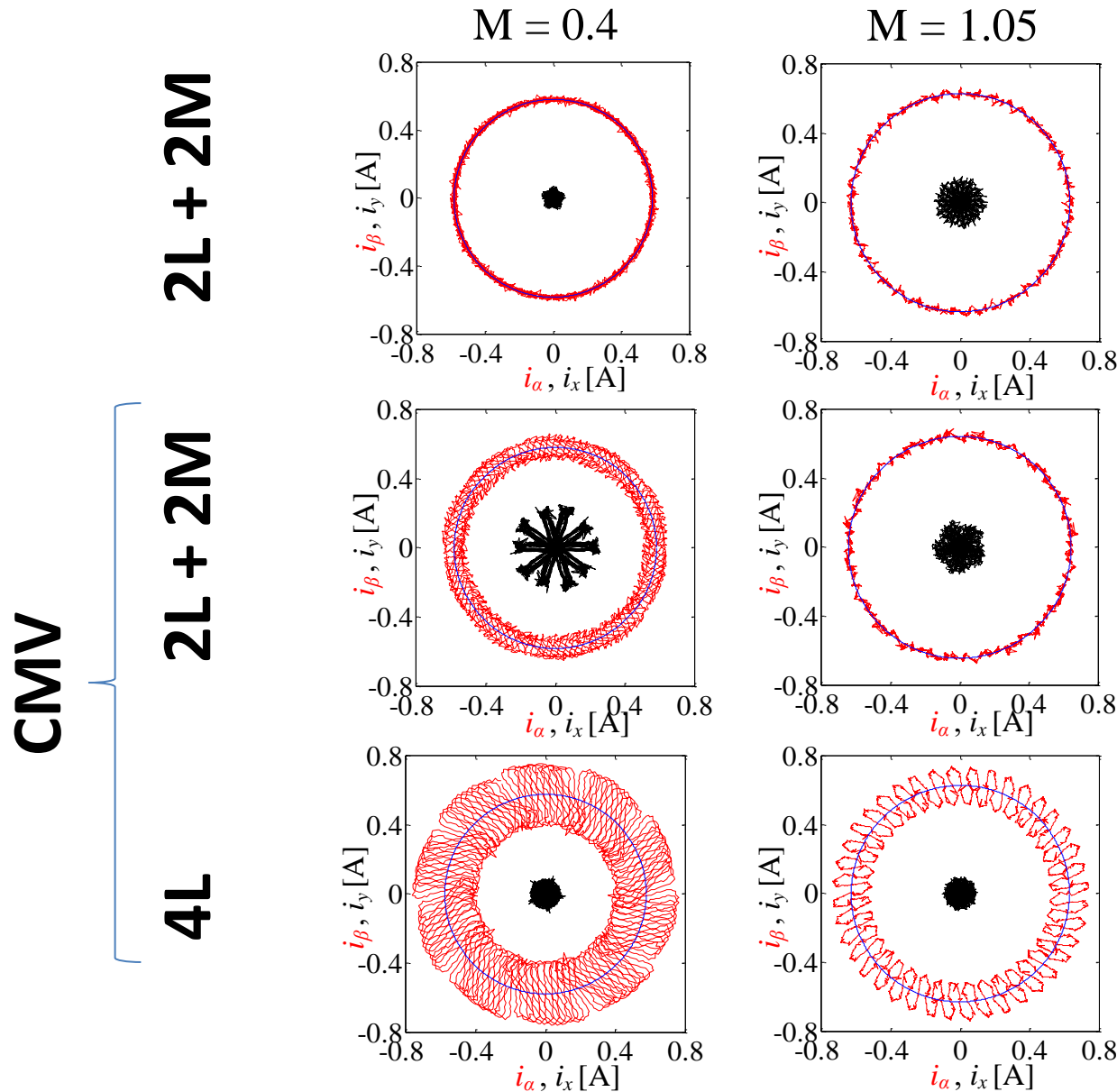


(b)



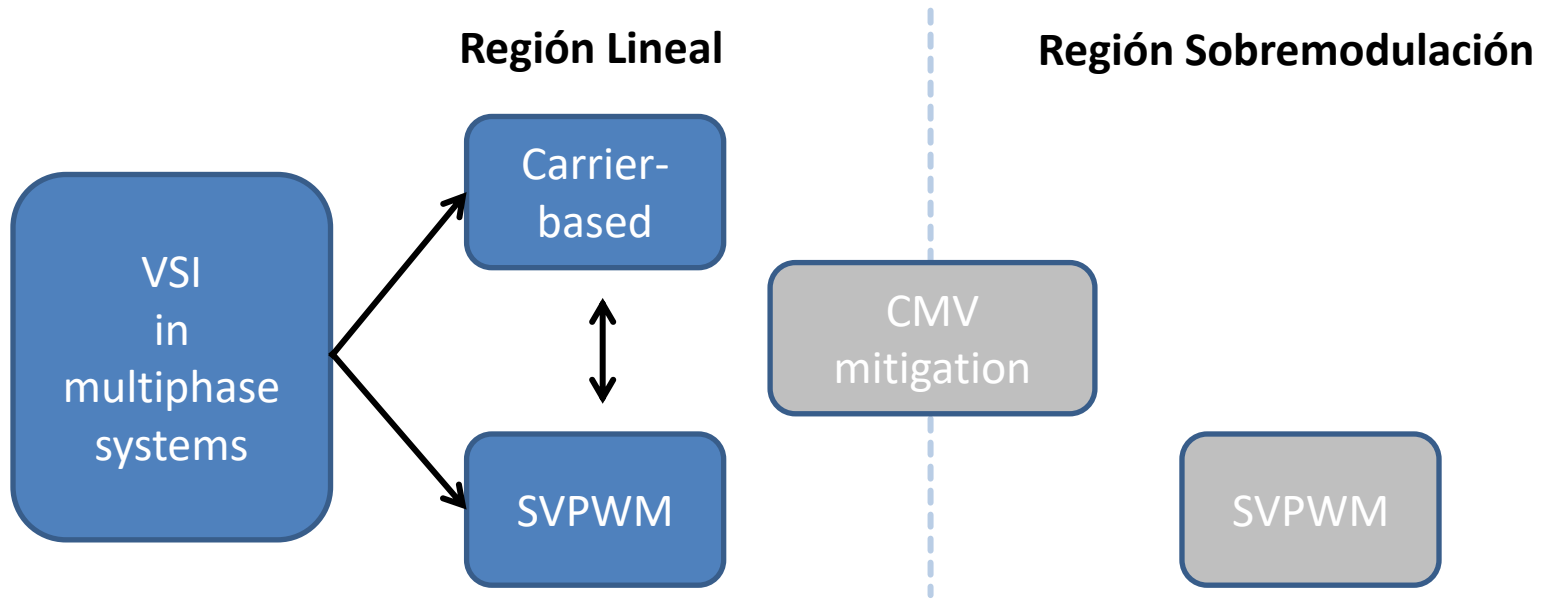
(d)

Common-Mode Voltage Mitigation

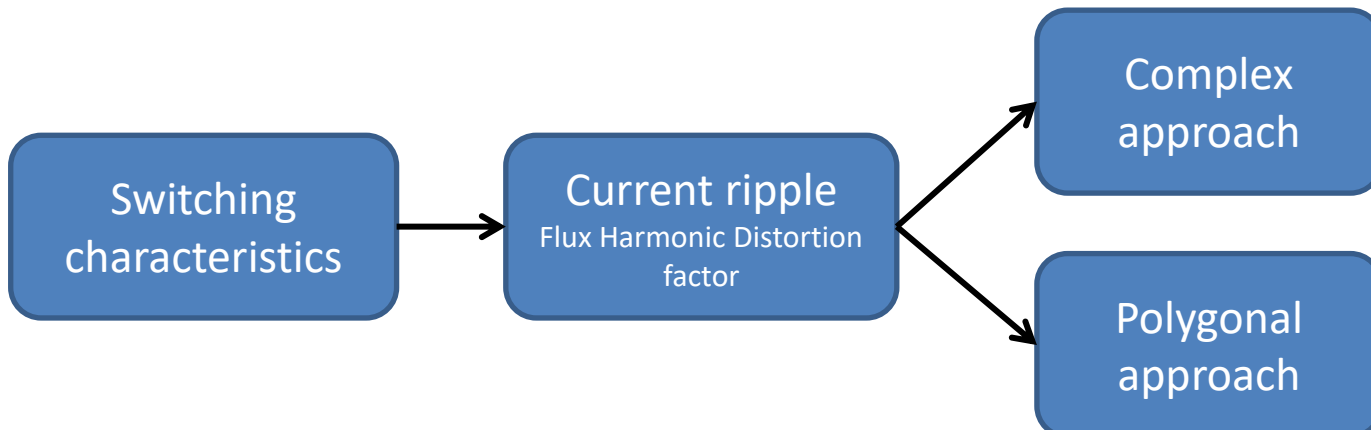


Dissertation Outline

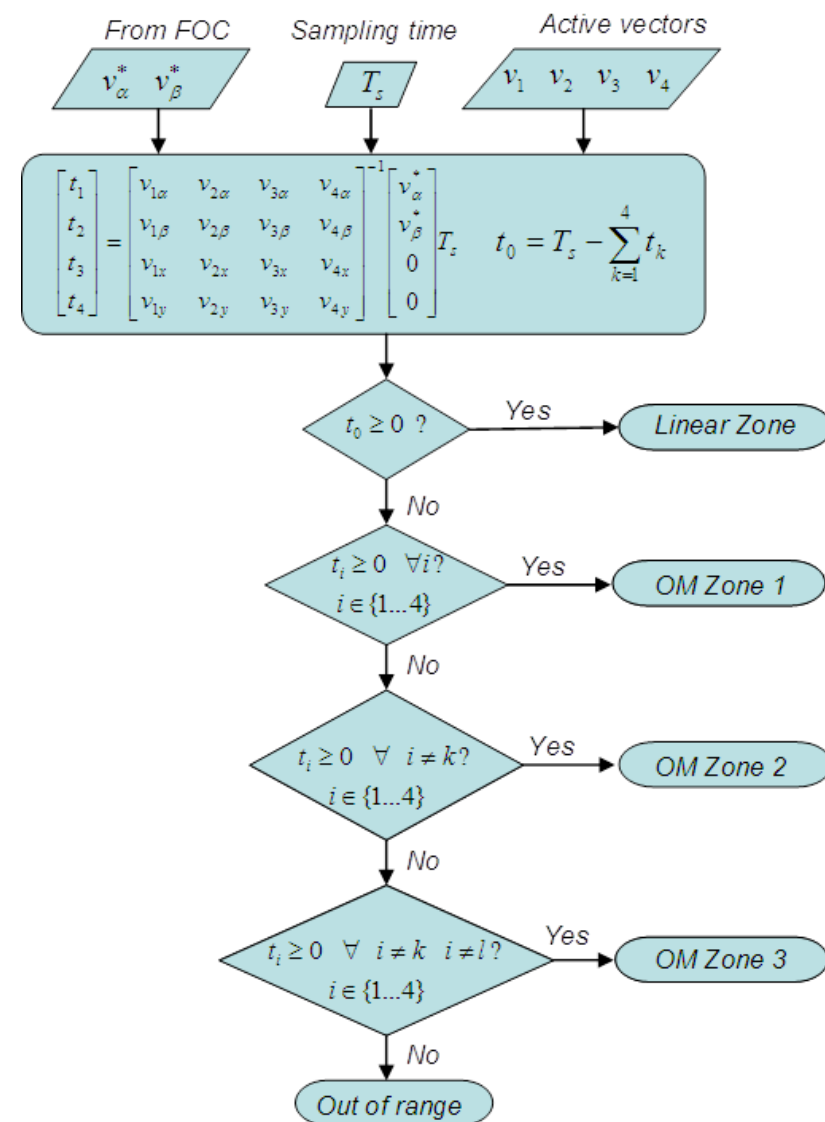
Técnicas PWM para convertidores multifásicos



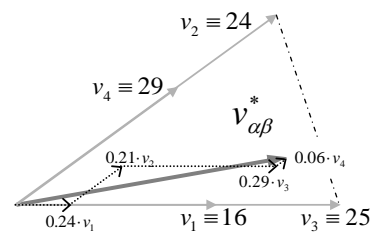
Indicadores de rendimiento



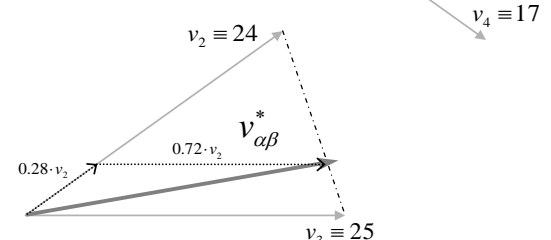
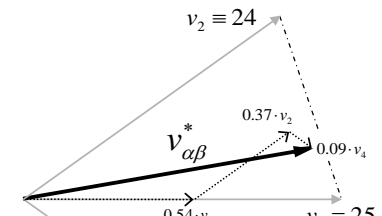
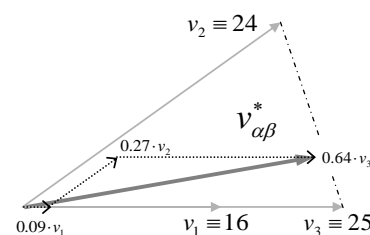
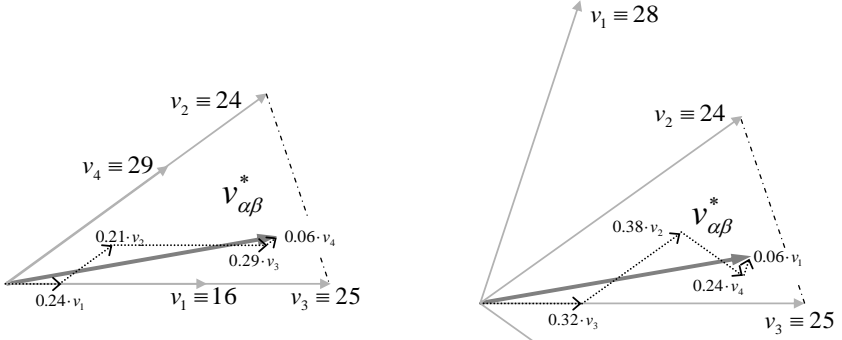
CMV in overmodulation zone



2L + 2M

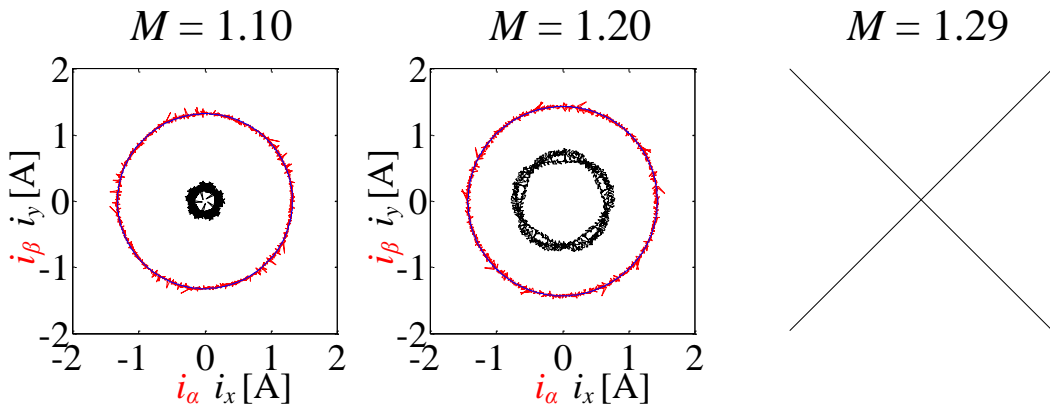


4L

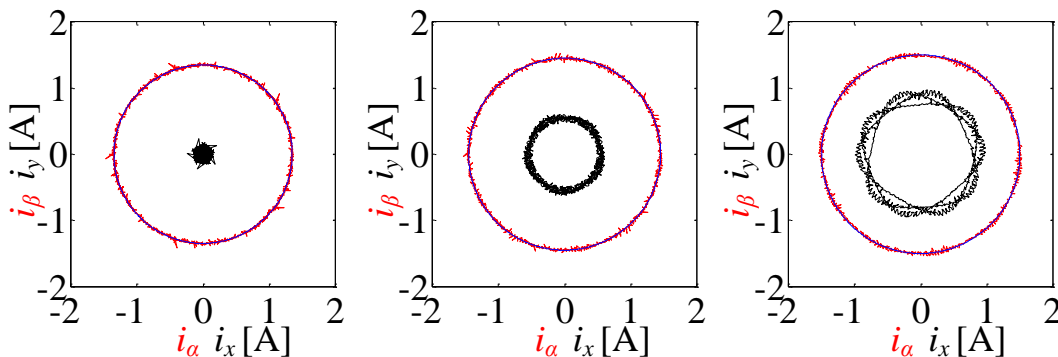


CMV in overmodulation zone

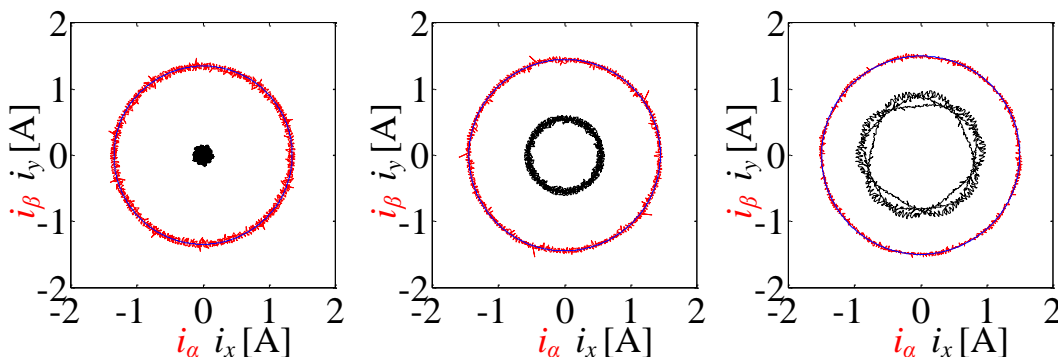
2L



2L + 2M



4L



Indice de la presentación

- Introducción
- Objetivos
- Técnicas de modulación para accionamientos multifásicos
 - Continuos and Discontinuos
 - Análisis de rizado de corriente
 - Técnicas SVPWM para zona de sobremodulación
 - Mitigación de tensión de modo común
- **Conclusiones**

Conclusiones

- Las técnicas de modulación basados en portadora y Space Vector para convertidores trifásicos fueron extendidos para su utilización en convertidores multifásicos
- Técnicas de modulación continuas y discontinuas fueron comparadas mediante indicadores de rendimiento
- Las técnicas de modulación analizadas incluyen la región de sobremodulación, además del análisis de la tensión del modo común.



Técnicas de modulación para accionamientos multifásicos

¿ PREGUNTAS ?

Gracias por su atención